

التوصية 4 ITU-R F.1108-4

تحديد المعايير الالزامية لحماية مستقبلات الخدمة الثابتة من إرسالات المحطات الفضائية العاملة في مدارات غير مستقرة بالنسبة إلى الأرض في نطاقات ترددات متقارنة

(المسئلتان 9 ITU-R 113 و 118 ITU-R 119)

(2005-2002-1997-1995-1994)

نطاق التطبيق

تتضمن هذه التوصية عدة طائق لتحديد المعايير الالزامية لحماية مستقبلات الخدمة الثابتة من إرسالات المحطات الفضائية العاملة في مدارات غير مستقرة بالنسبة إلى الأرض في نطاقات ترددات متقارنة بما في ذلك المدارات شديدة الإهليجية (HEO)

إن جمعية الاتصالات الراديوية في الاتحاد الدولي للاتصالات،

إذ تتضع في اعتبارها

أ) أن المؤتمر العالمي للراadio المكلف بدراسة توزيعات التردد في بعض أجزاء الطيف (مالة طور مولينوس، 1992) قد وزع على الخدمات الساتلية، على أساس أولي، بصورة متساوية أجزاء الطيف الموزعة أيضاً على الخدمة الثابتة؛

ب) أن مستخدمي الخدمات الساتلية قد يرغبون بالتشغيل مع المحطات الفضائية في مدارات غير مستقرة بالنسبة إلى الأرض (non-GSO)؛

ج) أن إرسالات المحطات الفضائية التي تعمل في المدارات غير المستقرة بالنسبة إلى الأرض والتي تتقاسم الجزء نفسه من الطيف يخشى أن تحدث تداخلات في محطات الاستقبال للخدمة الثابتة؛

د) أنه نظراً إلى الرؤية الحغرافية الشاسعة للإرسالات التي تحدثها المحطات الفضائية في المدارات غير المستقرة بالنسبة إلى الأرض، يخشى من عدم إمكانية تنسيق استعمال الترددات مع محطات الخدمة الثابتة؛

ه) أن أنظمة الخدمة الثابتة ينبغي أن تراعي متطلبات الأداء ضمن شروط الشهر الأسوأ؛

و) أن الخاطط نوعية الأداء لنظام الخدمة الثابتة يتعلق بمجموع الانحطاطات التي تسبب بها جميع المحطات الفضائية المرئية من هذه الخدمة؛

ز) أن دراسات كثافة تدفق القدرة على سطح الأرض التي تتسبب بها إرسالات المحطات الفضائية غير المستقرة بالنسبة إلى الأرض يمكن إجراؤها بتطبيق الطائق الإحصائية على نتائج المحاكاة بالحاسوب.

توصي

1 بأن تراعي معايير تقاسم الترددات المطبقة على أنظمة الخدمة الثابتة التي تتقاسم أجزاء الطيف مع المحطات الفضائية في المدارات غير المستقرة بالنسبة إلى الأرض، كثافة تدفق القدرة الكلية للإرسالات الصادرة عن مجموع المحطات الفضائية المرئية من محطات الخدمة الثابتة في أي نقطة من نقاط الأرض؛

- 1.1** بتحديد سوية التداخلات المسموح بها فيما يخص الكثافة (W/m^2) pfd في عرض نطاق متفق عليه؛
- 2** بوضع حدود كثافة تدفق القدرة على أساس التطبيق الإحصائي لمبادئ التوصية ITU-R F.758 في حالة أنظمة المرحلات الراديوية الرقمية الثابتة، والتوصية ITU-R SF.357 في حالة أنظمة المرحلات الراديوية التماضية الثابتة (طريقة قيد الدراسة)؛
- 3** بأن تراعي كما يجب مسألة فرض التوصية ITU-T G.826 (التي نتجت عنها التوصيتان ITU-R F.1397 وITU-RF.1491) لأهداف أكثر صرامة لأداء الخطأ وال المتعلقة بأنظمة المرحل الراديوي الرقمية الثابتة؛
- 4** بأن تراعي حدود كثافة تدفق القدرة المعلمات المدارية للمحطات الفضائية التي تستعمل النطاق؛
- 1.4** بإمكانية استعمال الطرائق الواردة في الملحق 1 لتحديد إحصائيات الرؤية للمحطات الفضائية المشغلة على المدارات الدائرية؛
- 2.4** بأن يحدد انحطاط نوعية أداء الأنظمة التماضية الذي يعزى إلى الإرسالات الصادرة عن محطة فضائية واحدة أو عدة محطات باستخدام الطرائق الواردة في الملحق 2؛
- 3.4** بأن يحدد انحطاط نوعية أداء الأنظمة الرقمية الذي يعزى إلى الإرسالات الصادرة عن محطة فضائية واحدة أو عدة محطات باستخدام الطرائق الواردة في الملحق 3 (انظر الملاحظة 1)؛
- 4.4** بأن تستعمل الطرائق الموصوفة في الملحق 4 لتحديد الآثار التي تسببها إرسالات محطة فضائية واحدة أو عدة محطات في الأنظمة الرقمية التي تعمل باستخدام أسلوب التنوع (انظر الملاحظة 2)؛
- 5.4** بأن تراعي الاعتبارات الواردة في الملحق 5 عند تقييم عدم انتظام التداخلات في أي شهر من الأشهر؛
- 6.4** بأن تطبق الطريقة الواردة في الملحق 6 لتحديد التوزيع التراكمي لنسبة القدرة المستقبلة إلى مجموع قدرات الموضوعات والتداخلات وتحديد الخسارة المصاحبة لها من الخبر الذي تسببه إرسالات محطة فضائية واحدة أو عدة محطات (انظر الملاحظة 3)؛
- 7.4** بأن يعطي الملحق 7 مثالاً لطريقة يمكن استخدامها لأغراض تقييم التداخلات التي تترجم في محطة خدمة ثابتة عن كوكبة سواتل غير مستقرة بالنسبة إلى الأرض وعاملة في مدارات دائيرية أو إهليلجية في محطة خدمة ثابتة بما فيها المدارات شديدة الإهليلجية (HEO).

الملاحظة 1 - إن معيار الانحطاط النسيي للأداء (pfd) الذي يحدد في هذه التوصية يمكن أن يطبق على أنظمة الخدمة الثابتة التي تشغله على ترددات يكون فيها الخبر متعدد المسيرات هو السبب الرئيسي في خبر الإشارات. ويلزم إجراء دراسة إضافية لبحث المسيرات التي يعزى سبب الخبر الرئيسي فيها إلى التوهين بالметр. ويطلب تقييم آثار التداخلات على المدى القصير، دراسة إضافية أيضاً (انظر الفقرة 4 من الملحق 3).

الملاحظة 2 - لا يستعمل النوع عموماً في الترددات التي تقل عن 3 GHz. وهو يستعمل غالباً في الترددات التي يكون فيها الخبر متعدد المسيرات هو السبب الرئيسي للخبر.

الملاحظة 3 - يمكن تطبيق الطريقة الواردة في الملحق 6 في المفاوضات الثنائية من أجل تقييم التداخلات على المدى القصير أو احتمالات التداخل.

الملحق 1

تحديد إحصائيات الرؤية من محطة أرضية، للمحطات الفضائية العاملة في مدارات دائيرية غير متزامنة مع الأرض

مقدمة

1

بغية إعداد معايير للتقارب بين سواتل المدار الأرضي المنخفض (LEO) وأنظمة الخدمة الثابتة، يلزم تحديد مدى تكرار رؤية الساتل في أي اتجاه لمحطة أرضية معينة أو لموقع معين، وتحديد كثافة التداخل التي يسببها هذا الساتل. ويرمي هذا الملحق إلى صياغة المعادلات اللازمة لمحاكاة أداء الساتل LEO وبالتالي الإحصائيات الضرورية. وسيكون هذا العمل عاماً بما يكفي لتطبيق نتائجه إما على نموذج عشوائي أو نموذج يتتطور مع تغير الزمن.

وسيخصص القسم 2 من هذا الملحق لإعداد معادلات حركة الساتل على مدار دائري في نظام إحداثيات ثابتة. وتحول هذه المعادلات في الفقرة 3 إلى نظام إحداثيات ثابتة على الأرض. ويرد في الفقرة 4 زاوية سمت مسقط الساتل ومسافته بالنسبة إلى نقطة على سطح الأرض. وتعرض الفقرة 5 تعابير زوايا الارتفاع والانحراف عن محور التسديد للساتل وكذلك معياراً بسيطاً لاختبار رؤية ساتل يقع فوق نقطة معينة من الأرض.

ويستعمل نظام الإحداثيات الكروية الميامنة التي مرکزها الأرض (λ, θ, r) في هذا الملحق حيث r هي المسافة اعتباراً من المصدر و θ هي المسافة الراوية اعتباراً من القطب الشمالي و λ هي الزاوية نسبة إلى القطب.

الساتل في الإطار الثابت

2

بغية تحديد موقع الساتل في الإطار الثابت، ينبغي أولاً تحديد موقعه في المستوى المداري. وفيما يتعلق بجسم في المدار الكروي حول الأرض، تتطلب هذه العملية أربع معلمات مدارية كبلرية كالتالي:

R_s : نصف قطر المدار، أي المسافة الفاصلة بين مركز الأرض والساتل

I : زاوية الميل (rad) أي الزاوية الواقعة بين المستوى المداري والمستوى الاستوائي. وهي تفاس من 0 إلى π وتكون أقل من $2/\pi$ إذا كان الساتل موجهاً نحو الشرق عندما يتقطع مع المستوى الاستوائي من الجنوب إلى الشمال وأعلى من $2/\pi$ إذا كان الساتل موجهاً نحو الغرب عندما يتقطع مع المستوى الاستوائي من الجنوب إلى الشمال

Ω : المسافة الزاوية (rad) على امتداد المستوى الاستوائي من المرجع صفر إلى موقع العقدة الصاعدة أي التقاطع حيث يتقطع مستوى الساتل مع المستوى الاستوائي من الجنوب إلى الشمال

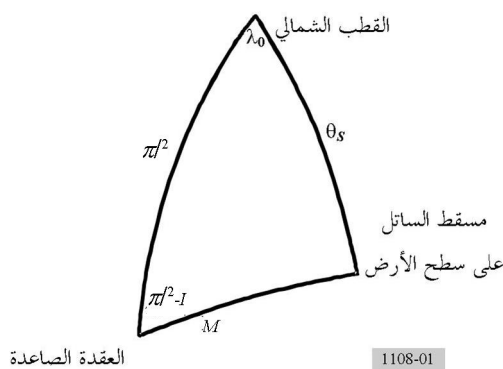
M : متوسط الشذوذ (rad) أي القوس الزاوي في المستوى المداري الساتلي الذي يقاس من العقدة الصاعدة إلى موقع الساتل.

ويمكن تحديد هذه الإحداثيات بالمنسنة الكروية (انظر الشكل 1). وينتاج بتطبيق قانون جيب التمام على القوس θ_s ما يلي: $\cos \theta_s = \sin M \sin I$. بما أن θ قد تحدد في الفاصل $(0, \pi)$:

$$(1) \quad \theta_s = \arccos(\sin M \sin I)$$

الشكل 1

المثلث الكروي للسائل في الإطار الثابت



وبصورة مماثلة، ينتج إذا طبق قانون جيب التمام على القوس $M = \sin \theta_s \cos \lambda_0$. وتعرض المعادلة (2) قيم λ_0 من أجل المدى كله $(\theta, 2\pi)$.

$$(2) \quad \lambda_0 = \begin{cases} \arccos(\cos M / \sin \theta_s) & \text{for } \cos I \sin M \geq 0 \\ 2\pi - \arccos(\cos M / \sin \theta_s) & \text{for } \cos I \sin M < 0 \end{cases}$$

3 التحويل إلى إحداثيات أرضية

يمكن أن تتحول هذه الإحداثيات إلى إحداثيات أرضية مكافئة لا غير. ونظرًا إلى أن الأرض تقوم بالدوران شرقًا عند $2\pi \text{ rad}$ في 23 ساعة و 56 دقيقة و 4,09 ثانية، فإن خط الطول شرقًا لنقطة السائل الفرعي λ يعادل:

$$(3) \quad \lambda_s = \lambda_0 + \Omega_s - \Delta E t$$

حيث:

$$\Delta E = 7,292115856 \times 10^{-5} \text{ rad/s.}$$

وفيمما يخص الوصف الرمزي الكامل لموقع مسقط السائل على المدار وكذلك موقع السائل على المدار. تجري العقدة الصاعدة زاوية مبادرة غرباً بمعدل $9.964 \cos I \text{ rad/s}$ حيث $R_E = 6378,14 \text{ km}$ هو نصف قطر الأرض عن الخط الاستوائي. ويتغير موقع العقدة الصاعدة إذاً مع الزمن التالي:

$$\Omega_s = \Omega_0 - \Delta L t$$

حيث:

$$\Delta L = -2,0183 \times 10^{-6} (R_E / R_s)^{3,5} \cos I$$

وتصبح المعادلة (3) إذاً

$$(4) \quad \lambda_s = \lambda_0 + \Omega_0 - (\Delta L + \Delta E) t$$

يعطي الدور المداري (الأدوار المدارية) للساتل على مدار دائري بنصف قطر R_s في الصيغة $T_s = 9,952004586 \times 10^{-3} R_s^{1.5}$ حيث R_s هو نصف قطر المدار الساتلي (km)، وينتج إذاً

$$(5) \quad M = M_0 + \Delta_e M t$$

. $\Delta M = 2\pi / T_s$

4 المسافة والسمت نسبة إلى محطة أرضية

يجب أولاً أن تتحول إحداثيات المحطة الأرضية من الإحداثيات القياسية لخط العرض وخط الطول إلى إحداثيات كروية. وإذا كان L_T هو خط العرض و Lo_T هو خط الطول للمحطة الأرضية فيمكن الحصول على الزاويتين الموجبتين (بالدرجات)، والإحداثيات الكروية للمحطة (rad)، θ_T و λ_T من العلاقة التاليتين:

$$(6) \quad \theta_T = \begin{cases} (\pi/180)(90 - L_T) & \text{ بالنسبة إلى } L_T \text{ خط العرض شمالاً} \\ (\pi/180)(90 + L_T) & \text{ بالنسبة إلى } L_T \text{ خط العرض جنوباً} \end{cases}$$

$$(7) \quad \lambda_T = \begin{cases} (\pi/180)(Lo_T) & \text{ بالنسبة إلى } Lo_T \text{ خط الطول شرقاً} \\ (\pi/180)(360 - Lo_T) & \text{ بالنسبة إلى } Lo_T \text{ خط الطول غرباً} \end{cases}$$

ويعادل الفرق في خط الطول من المحطة الأرضية إلى مسقط الساتل على سطح الأرض λ_D ، تماماً الآتي:

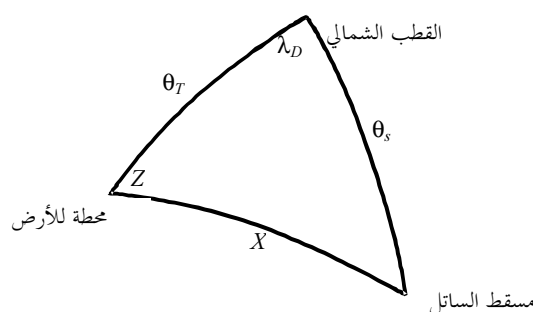
$$(8) \quad \lambda_D = \lambda_s - \lambda_T$$

تحديد المسافة X بين المحطة الأرضية ومسقط الساتل على سطح الأرض في زوايا نصف قطرية للقوس، حسب قانون جيب التمام (انظر إلى الشكل 2) كالتالي:

$$(9) \quad X = \arccos(\cos \theta_T \cos \theta_s + \sin \theta_T \sin \theta_s \cos \lambda_D)$$

الشكل 2

المثلث الكروي الذي يمثل المسافة بين مسقط الساتل على سطح الأرض والمحطة الأرضية



يكون مسقط السائل على سطح الأرض شرق المخطة الأرضية، إذا كانت $\sin \lambda_D > 0$ أعلى من الصفر وغربها إذا كانت أقل من الصفر. وتنتج إذا زاوية السمت Z بين المخطة ومسقط السائل على سطح الأرض بتطبيق قانون جيب التمام على القوس θ_s في الشكل 2 :

$$(10) \quad Z = \begin{cases} \arccos \left[\frac{\cos \theta_s - \cos \theta_T \cos X}{\sin \theta_T \sin X} \right] & \text{for } \sin \lambda_D \geq 0 \\ 2\pi - \arccos \left[\frac{\cos \theta_s - \cos \theta_T \cos X}{\sin \theta_T \sin X} \right] & \text{for } \sin \lambda_D < 0 \end{cases}$$

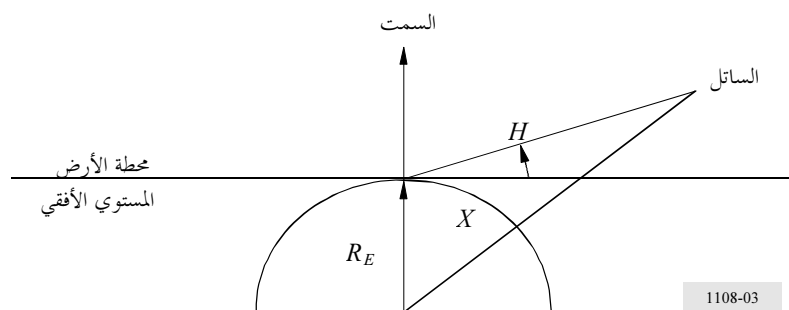
5 زاوية ارتفاع السائل ومسافته الزاوية نسبية إلى الحزمة الرئيسية

يمكن الحصول على زاوية الارتفاع H للسائل فوق أفق المخطة الأرضية (بافتراض أن زاوية الأفق تعادل 0 درجة) بالرجوع إلى الشكل 3:

$$(11) \quad H = \arctan \left[\frac{\cos X - R_E / R_s}{\sin X} \right]$$

الشكل 3

مستوى يضم مركز الأرض والمخطة الأرضية والسائل



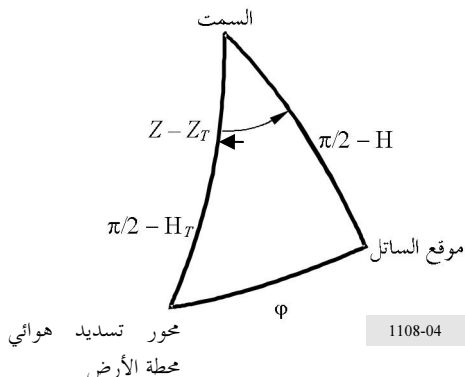
1108-03

يفتراض أن هوائي الاستقبال للمخطة الأرضية مسدد في اتجاه السمت Z_T مع زاوية ارتفاع تبلغ H_T rad فوق المستوى الأفقي. ويمكن حساب المسافة الزاوية φ بين الحزمة الرئيسية لهوائي المخطة الأرضية والسائل باستعمال نظام الإحداثيات الكروية المركز على المخطة الأرضية والذي يكون محوره في اتجاه السمت كما يوضح الشكل 4. وينتج بتطبيق قانون جيب التمام على المسافة الزاوية φ الجانبية ما يلي :

$$(12) \quad \varphi = \arccos (\sin H_T \sin H + \cos H_T \cos H \cos (Z - Z_T))$$

الشكل 4

مثلث كروي يسمح بتحديد الزاوية بين حزمة المخطة الأرضية والسوائل



تسمح المعادلات من (1) إلى (12) بمحاكاة بيئة التداخل للمحطة الأرضية بوجود السائل LEO. وتوجد إمكانية للتبسيط، مثلاً لا يؤخذ في الاعتبار عادة سوى التداخلات التي تسببها السواتل فوق الأفق. وتبعداً للمعادلة (11) يكون السائل فوق الأفق من أجل:

$$(13) \quad \cos X > R_E / R_s = \gamma$$

وإذا استعملت المعادلتان (13) و(9) يمكن صياغة تعبير لمدى من خطوط الطول التي تقع ضمن دائرة الرؤية هذه من أجل قيمة معينة لخط العرض لسقوط سائل على سطح الأرض أو لمتوسط الشذوذ. ويجب إذا تقييم المعادلات (10) و(11) و(12) فقط بموجب شروط يمكن تحديدها مسبقاً.

الملحق 2

محاكاة التداخلات التي تسببها السواتل LEO في مسارات المراحل الراديوية التماضية الثابتة

مقدمة

1

يصف هذا الملحق برنامج حاسوب ينفذ العلاقات الرياضية المعروضة في الملحق 1. ويمكن أن يستعمل هذا الملحق كأداة تحليل من أجل تفحص التداخلات في شبكات المراحل الراديوية التماضية الخاضعة للمحاكاة والتي تقاسم أجزاء الطيف مع السواتل LEO التي تمثل السواتل الممكن أن تشغّل في النطاقات التي تقل عن 3 GHz. ويرد عرض لعدد من الأمثلة الخاصة بسيناريوهات التقاسم مع نتائجها.

2 وصف النموذج

يجري البرنامج بطريقة رياضية محاكاة مسیر كوكبة LEO مع مراعاة دوران الأرض وآثار مبادرة المدار. ويتم حساب التداخلات التي تنتجه عن كل حركة لسائل الكوكبة تبلغ $1/2$ درجة في كل مستقبل للمرحلة الراديوي ضمن تركيز لمسييرات المرحلة الراديوي الموزعة عشوائياً. ويجمع البرنامج معلومات كثافة التداخلات لكل مسیر من مسیرات المرحلة الراديوي أثناء مدة المحاكاة. ثم يحوّل هذه المعلومات إلى توزيع احتمالي مطابق لكل مسیر من أجل إتاحة تحليل أداء كل مسیر بصورة منفصلة. وتقارن نتائج أمثلة السيناريوهات الوارد وصفها هنا مع متطلبات الأداء المرجعية الواردة في الشكل 1 من التوصيةITU-R SF.357. وتقترح التوصيةITU-R SF.357 معايير تقاسِم مرجعيةً في حالات التداخلات الخاصة بالأنظمة التماضية فقط.

1.2 المدخل

تسمح المحاكاة للمشغل انتقاء المعلمات التالية:

- التردد،
- خط العرض والطول لمراكز مسیرات المراحل الراديوية الثابتة (خطوط مستقيمة مكافئة)،
- كسب هوائي الاستقبال للمرحلة الراديوي الثابت،
- عدد مسیرات المرحلة الراديوي التي يجب تحليلها،
- ارتفاع مدار السائل (نفسه لكل سائل)،
- عدد المستويات المدارية السائلية،
- طول العقدة الصاعدة لكل مستوىٍ،
- ميل المدار (نفسه لكل سائل)،
- عدد السوائل لكل مستوىٍ (نفسه لكل مستوىٍ)،
- سوية الكثافة pfd من أجل زوايا كبيرة سائلية،
- سوية الكثافة pfd من أجل زوايا صغيرة سائلية،
- مدة المحاكاة (بالأيام)،

يراعي النموذج الفرضيات التالية:

- فيما يتعلق بنموذج نظام المرحلة الراديوي الثابت:

50 قفزة وطول مسیر 2500 km ويتم انتقاء اتجاهات القفزات حسب طائق مونت كارلو.

درجة حرارة الضوضاء للمستقبل = $K = 1750$.

الضوضاء الحرارية في النطاق الأساسي البالغ 4 kHz هي $pW = 25$ لـ كل قفزة.

خصائص هوائي الاستقبال حسب التوصيةITU-R F.699.

الخسارة (تغذية، تحويل) بمقدار 3 dB.

- فيما يخص نموذج نظام السواتل:

مدار دائري فقط.

كثافة تدفق القدرة محصورة في القيم التالية:

$$\begin{aligned}
 pfd_{low} & \quad \text{for } 0 \leq \theta \leq 5^\circ \\
 pfd = pfd_{low} + 0,05 (pfd_{hi} - pfd_{low}) (\theta - 5) & \quad \text{for } 5^\circ < \theta \leq 25^\circ \\
 pfd_{hi} & \quad \text{for } 25^\circ < \theta \leq 90^\circ
 \end{aligned}$$

2.2 الخرج

إن ناتج البرنامج هو ملف معطيات وحيد يسمى Leo.dat. وتتوفر معلومات لكل مسیر مرحل راديوی ثابت خضع للمحاکاة. وتنظم المعلومات الناتجة بحيث تشير إلى المدة الزمنية لسویات التداخلات التي تحدث لكل مرحل راديوی. ويعطي البرنامج تداخلات تتراوح بين 1 و 100 000 pW مقسمة إلى 50 فاصلاً تتابعياً بعرض يبلغ 1 dB. ويضيف البرنامج بشكل تلقائي مدى التداخلات المناسب لكل مسیر تأثر بتداخلات سببها الساتل لكل تغير مقداره 1/2 درجة من المدار.

3 نتائج المحاكاة

تحدد التوصية ITU-R SF.357 حدود التداخلات في فترتين طويلة وقصيرة الأجل، التي يتعرض لها نظام المرحل الراديوی بتشكيل زاوي في نطاقات يستعملها بالتقاسم مع الخدمة الثابتة الساتلية. وتقترن التوصية أيضاً بشكل استكمال داخلي خطى لتحديد سویات التداخل المقبولة أثناء فترات زمنية محصورة بين الحدود المذكورة في الفترتين الطويلة والقصيرة الأجل. وبما أن البرنامج يحسب معطيات التداخل على شكل توزيع للاحتمالات، يمكن تقييم كل سيناريو للتقاسم عند التفحص. بمقارنة نتائج البرنامج مع الحدود المنصوص عليها في التوصية ITU-R SF.357.

وترد حدود التداخلات المنصوص عليها في التوصية ITU-R SF.357 في الجزء الأيمن من الرسوم البيانية للمعلومات التي تظهر في الأشكال من 5 إلى 9 من هذا الملحق. وتمثل المنحنيات في الجزء الأيسر التداخلات التي تحدث لمسیر المرحل الراديوی الثابت الأكثر تأثراً في سيناريو التقاسم LEO/الخدمة الثابتة.

مثلاً، يعرض الشكل 5 تحليلآ لآثار التداخلات التي تتعرض لها محطات الخدمة الثابتة العاملة عند 1,5 و 2,0 و 2,5 GHz، بينما تبقى ثابتة جميع المعلمات المتعلقة بالخدمة الثابتة وسوائل LEO. وهناك مجموعة من السيناريوهات. تمثل مجموعة المنحنيات السفلية في الشكل آثار التداخلات التي يسببها ساتل واحد LEO في الخدمة الثابتة. وتمثل المجموعة الثانية من المنحنيات آثار التداخلات المصاحبة لوجود عدد كاف من سوائل LEO في مستوى مداري واحد بحيث يكون الساتل مرئياً دوماً. ويعد النظام الساتلي LEO الذي يكون فيه ساتل واحد مرئي دوماً المرجع الملائم لهذه المقارنة.

يوضح الشكل 6 آثار التغيير في ارتفاع المدار وكثافة تدفق القدرة من أجل زاوية وصول صغيرة على التداخلات التي تحدث في الخدمة الثابتة والصادرة عن ساتل واحد LEO في حالة رؤية مستمرة. وفيما يتعلق بذين السيناريوهين، يبين المنحنيان المشرطان (كثافة تدفق القدرة = $144 \text{ dB(W/m}^2\text{)}$ في نطاق 4 kHz) أن ارتفاع المدار أي 800 km و 10 330 km ليس معلمة هامة وهو أمر متوقع.

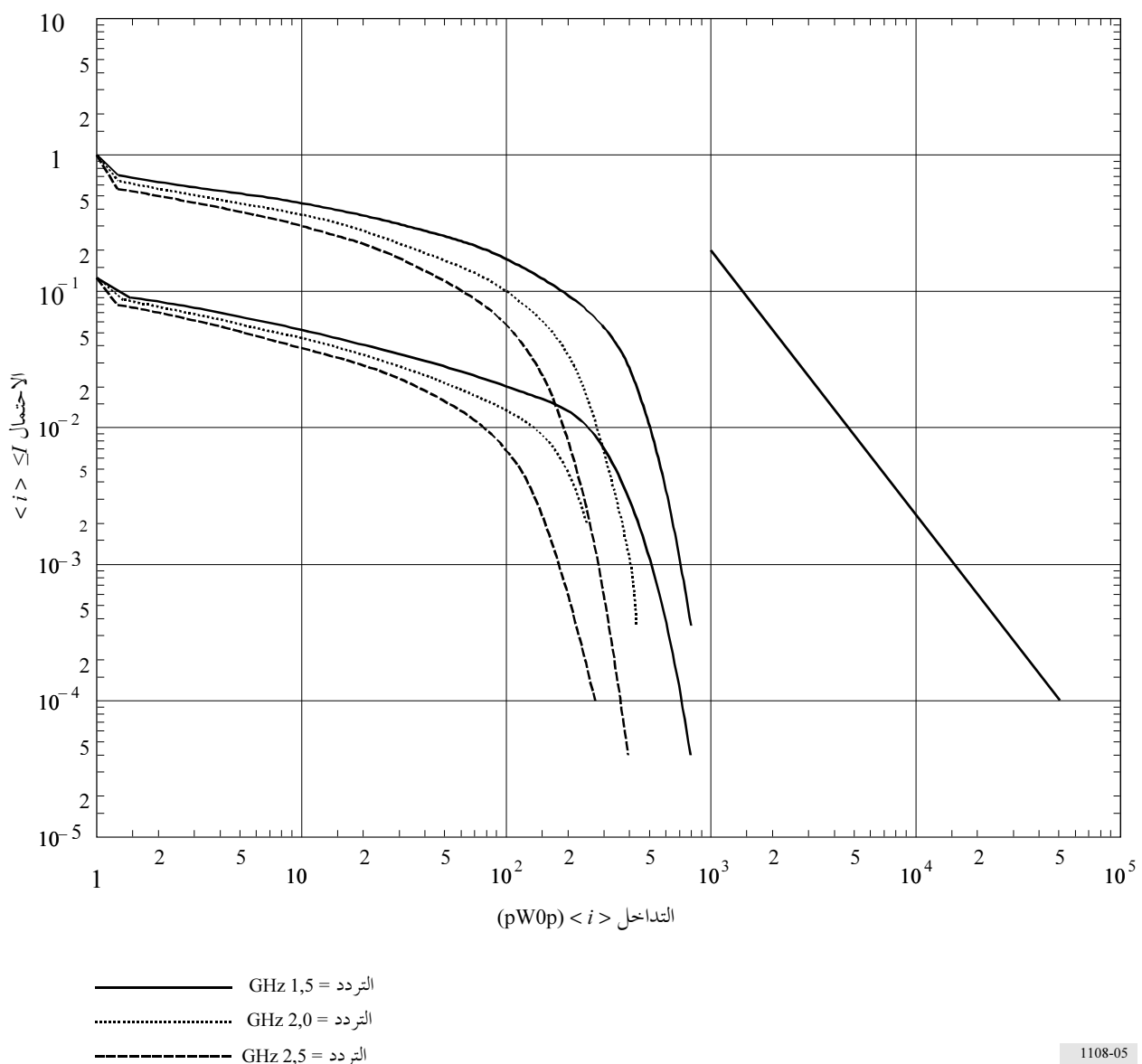
ويبيّن المنحنى المتواصل في الشكل 6 أن استعمال السواتل LEO للحزام النقاطية العاملة على هذين الارتفاعين، سوف يحد بشكل كبير من سوية التداخلات التي تتعرض لها الخدمة الثابتة.

يبين الشكل 7 نتائج دراسة آثار التداخلات التي تتعرض لها الخدمة الثابتة بدلالة خط العرض. وتمثل المنحنيات الثلاثة العلوية توزيع التداخلات التي تتعرض لها الخدمة الثابتة على ثلاثة خطوط عرض مختلفة، مع الافتراض نفسه أي وجود سائل وحيد مرئي دوماً. ويبدو أن خط العرض لا يعد معلومة هامة فيما يتعلق بشكل التوزيعات التي تتشابه إلى حد معقول.

الشكل 5

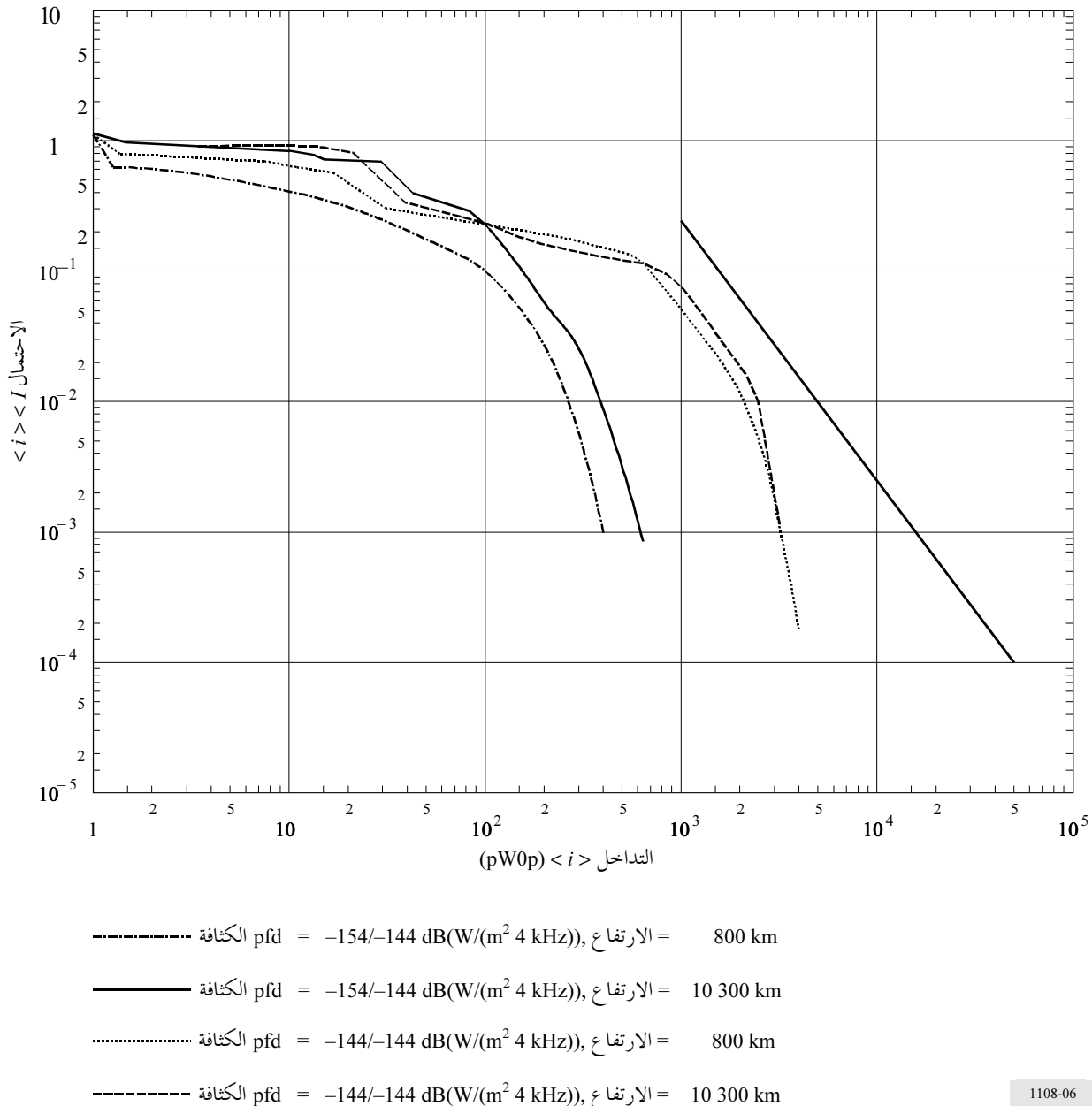
سويات التداخل في الخدمة الثابتة بدلالة الترددات

($\text{dB}(\text{W}/(\text{m}^2 \cdot \text{MHz})) = 144 - 154 - \text{pfd}$ كسب الهوائي، 40° خط العرض، 33 dB قفزة للحزم، 50 km 800)



الشكل 6

سويات التداخل بدلالة الارتفاع وكثافة تدفق القدرة
(50 قفزة للمسيير، 40 درجة خط عرض، 2 GHz)

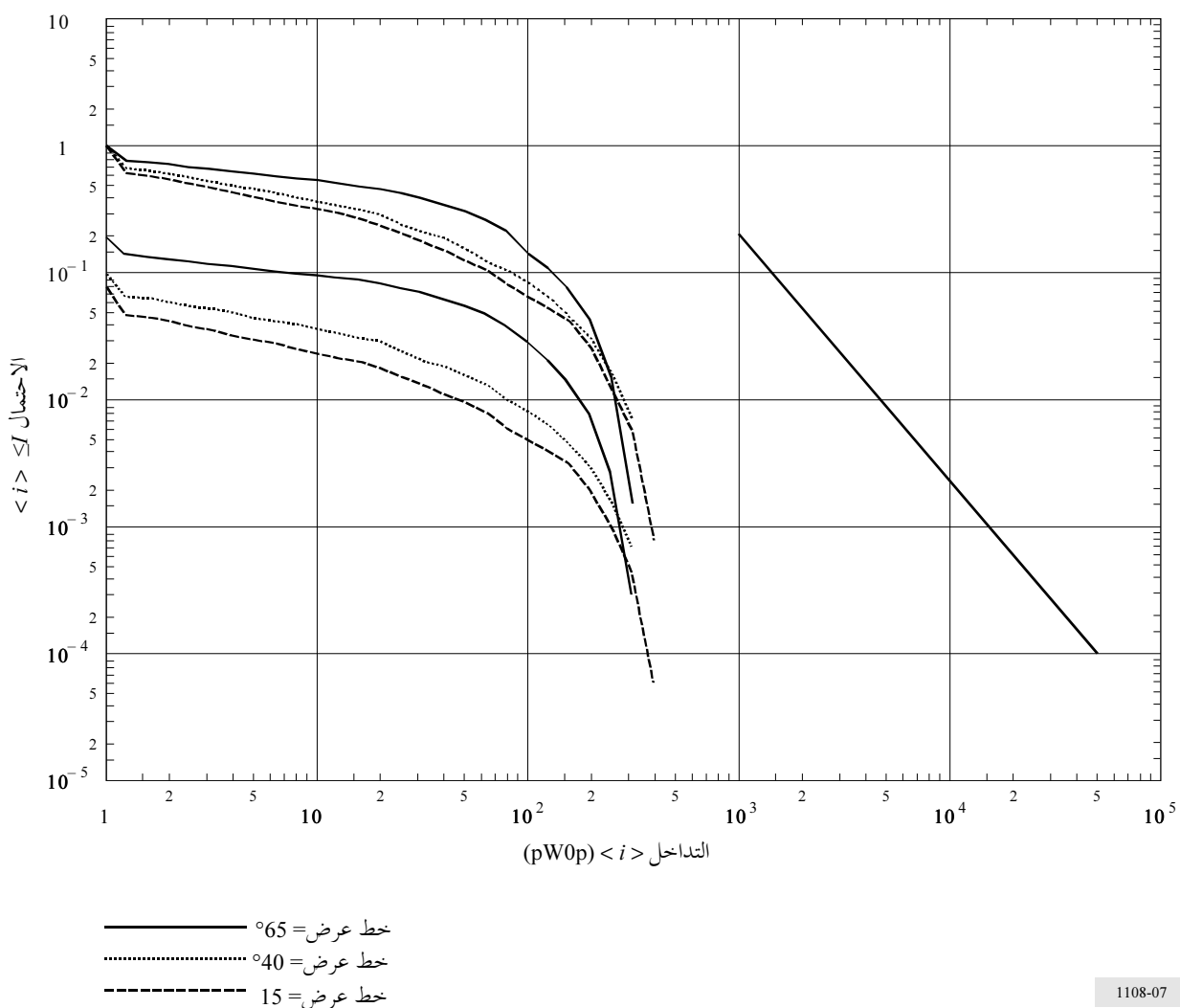


1108-06

الشكل 7

التدخلات (i) في عرض النطاق 4 kHz

سويات التداخل في الخدمة الثابتة بدلالة خط العرض

(GHz 2, dB(W/(m².4 kHz)) 144–154 = pfd (dB 33, كسب الموائي 50) قفزة)

ويمكن التتحقق من هذه الملاحظة بديهياً إذ يلاحظ أنه في كل مدار لنظام سواتل واقعة في مدارات شديدة الميل، يكون كل ساتل في المستوى مرئياً لفترة زمنية من الواقع الأرضية في خطوط عرض أكثر في الشمال أو في الجنوب، بينما يمكن للمحطات الأرضية الموجودة في خطوط عرض متوسطة أو منخفضة ألا تكون مرئية من أي جزء في مدارات معينة. ويبدو أن السواتل LEO المستمثلة لخدمة خطوط العرض المتوسطة والمنخفضة يمكن أن تسبب مزيداً من التداخلات للأنظمة الأرضية الواقعة في خطوط عرض مرتفعة، إذ إن نسبة كبيرة من السواتل في المدارات تكون مرئية من موقع أرضية موجودة في خطوط عرض مرتفعة.

أخيراً، يوضح الشكلان 8 و 9 آثار التداخلات التي تحدث للخدمة الثابتة والصادرة عن كوكبات السواتل التي يحتمل أن تتشكل أنظمة تشغيل حقيقة. ويجهز كلا النظريتين بحيث تكون السواتل من 3 إلى 6 مرئية باستمرار من موقع الأرض الذي تؤمن خدمتها. وينص الشكل 8 حالة كوكبة ساتلية تضم 6 مستويات مدارية دائرية و 11 ساتلاً لكل مستوىٍ. وتكون زاوية

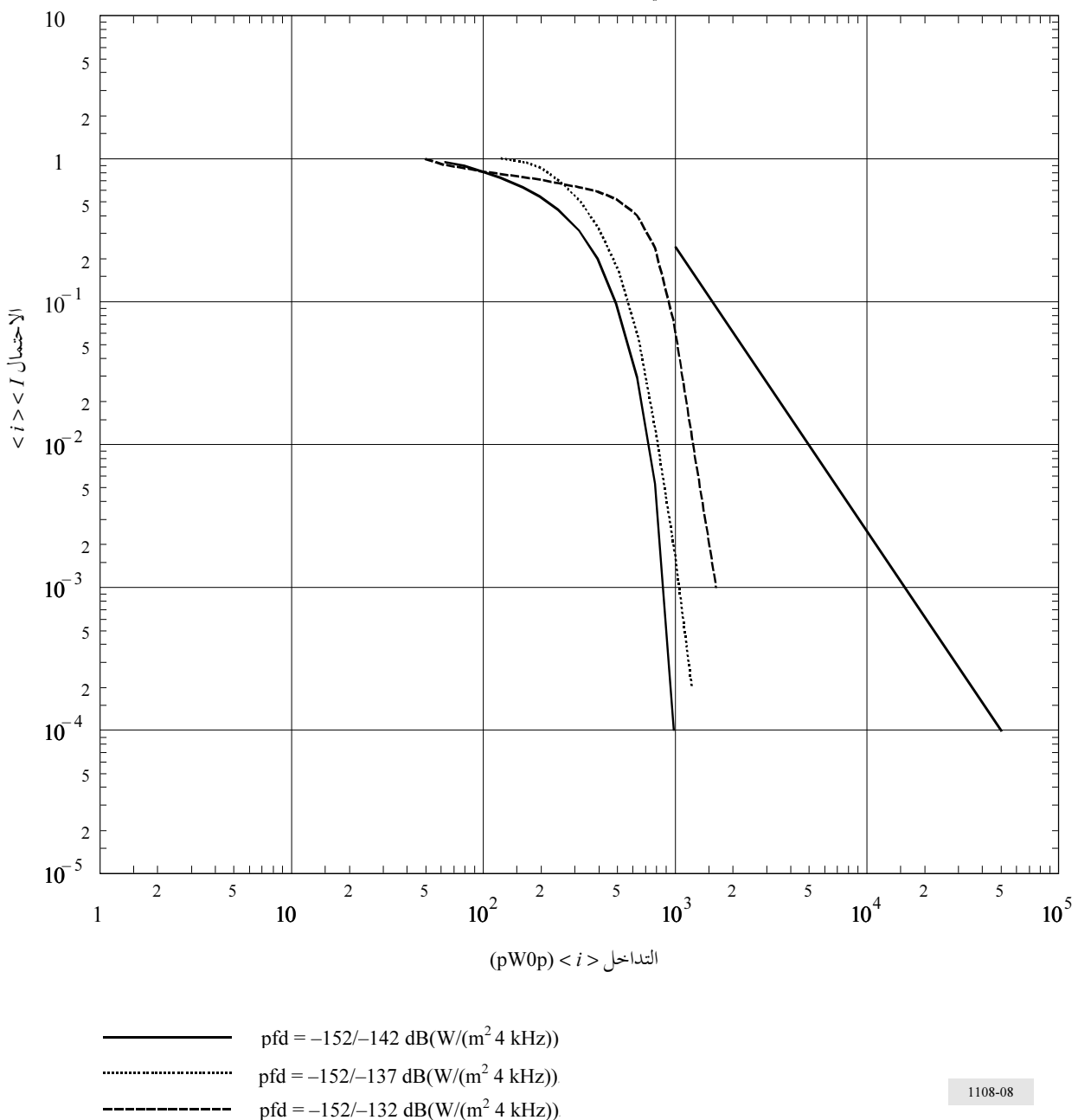
الميل واحدة ($5,86^{\circ}$ درجة) والارتفاع الساتلي نفسه (km 780) لجميع المستويات. وبين الشكل 9 توزيع التداخلات التي يمكن أن تحدثها كوكبة تتتألف من 12 ساتلاً تعمل على ارتفاع 10 370 km. وتوزع السواتل على 3 مستويات مدارية متفرقة بعمق 120 درجة مع زاوية ميل تبلغ 56 درجة، ويشمل كل مستوى 4 سواتل.

الشكل 8

السداخلات (i) في عرض النطاق 4 kHz

(66 ساتلاً LEO/780 km تداخلات تحدث في الخدمة الثابتة

(زاوية ميل 86,5 درجة، كسب المواري للخدمة الثابتة = GHz 2 dB 33، خط العرض 40 درجة)

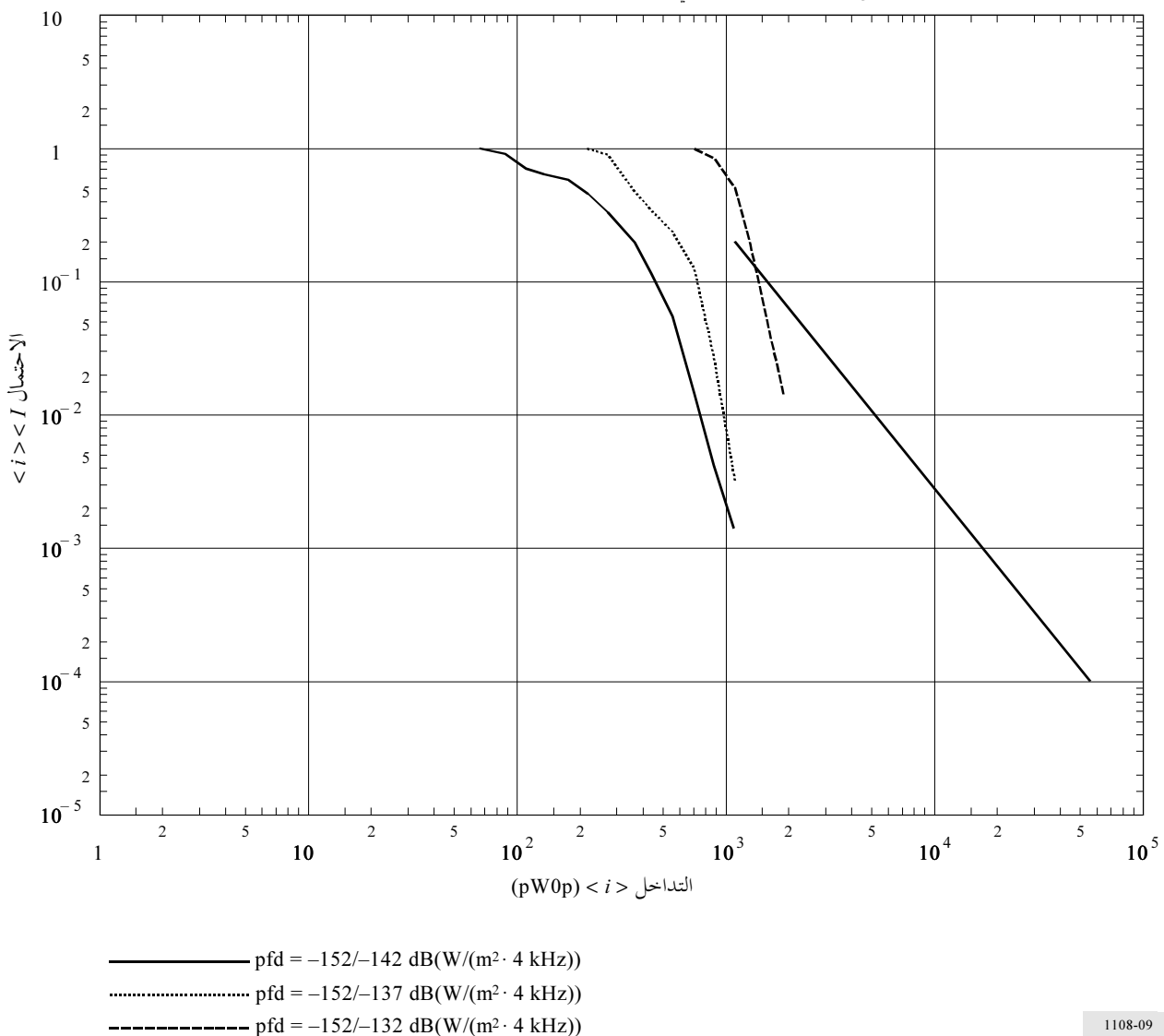


الشكل 9

التداخلات (i) في عرض النطاق 4 kHz

12 ساتلاً /LEO km 10 370 تداخلات تحدث للخدمة الثابتة

(زاوية ميل 56 درجة، كسب الهوائي للخدمة الثابتة = 33 dB، 2 GHz، خط العرض 40 درجة)



1108-09

خاتمة

4

نظراً إلى المعلمة الزمنية التي ينبغي مراعاتها في حالة الساتل LEO، سيصبح تحليل التقاسم أكثر صعوبة بكثير وسيختلف في نقاط هامة عن التحليل الذي أجري على السواتل المستقرة بالنسبة إلى الأرض. ولا توجد حالياً أي طريقة كاملة تسمح بتحديد شروط الحماية للخدمة الثابتة في بيئة السواتل LEO. وتظهر حقيقة ذلك خصوصاً بالنسبة إلى التقاسم مع أنظمة المرحلات الراديوية الرقمية الثابتة. وتحدد التوصية ITU-R SF.357 معياراً يمكن أن يستعمل في وضع حدود كثافة تدفق القدرة من أجل التقاسم مع المرحلات الراديوية الرقمية الثابتة. ومع ذلك، نظراً إلى أن التوصية ITU-R SF.357 قدف إلى

تحديد شروط التقاسم مع السواتل المستقرة بالنسبة إلى الأرض، فمن المناسب بحثها من جديد للنظر في التقاسم مع الشبكات الساتلية LEO.

إذا افترضت صلاحية التوصية ITU-R SF.357، قد يظهر أنه فيما يخص الحالات التي لا يكون فيها سوى عدد محدود من السواتل LEO مرئياً من الخدمة الثابتة، فإن المراحلات الراديوية الرقمية الثابتة يمكن أن تقاسم نطاقات التردد مع أنظمة LEO شريطة التحكم بسويات كثافة تدفق القدرة المشعة في زوايا وصول صغيرة. ويبدو أيضاً أنه من أجل زوايا وصول كبيرة يمكن الحدود كثافة تدفق القدرة المشعة الصادرة عن الأنظمة LEO أن تتجاوز السويات الموضوعة حالياً من أجل أنظمة السواتل المستقرة بالنسبة إلى الأرض. ويلزم إجراء دراسات إضافية وقد اقترح تشجيع التطور واستعمال أدوات المحاكاة لإجراء هذه الدراسات.

الملحق 3

تحديد آثار الإرسالات الصادرة عن محطات فضائية غير مستقرة بالنسبة إلى الأرض في مستقبلات موجات صغرية رقمية للخدمة الثابتة

مقدمة

1

بغية إعداد معايير لتقاسم النطاقات بين الخدمة الثابتة والخدمات الفضائية التي تستعمل سواتل LEO، يجب معرفة الآثار التي تحدثها إرسالات هذه السواتل في نوعية أداء المستقبلات الرقمية الأرضية. ويقترح هذا الملحق طريقة لتقدير هذه الآثار بمساعدة المحاكاة بالحاسوب التي تسمح بإعداد إحصائيات عن كثافة التداخلات التي يسببها في مكان معين هوائي الاستقبال المسدد نحو أي اتجاه يشكل جزءاً من مجموعة الاتجاهات. وتستعمل هذه المحاكاة المعادلات المتعلقة بالمدار الواردة في الملحق 1 وتسمح إما بسائل وحيد أو بكومبة ساتلية منتظمة للسوائل. وجرى تحديد كميتين معينتين هما:

- النسبة المئوية الزمنية التي تتجاوز فيها كثافة التداخل سوية معينة؛
- الزيادة المتعلقة باحتمال عدم الإيفاء بمعيار نوعية الأداء.

وترد عناصر المحاكاة بالتفصيل في الفقرتين 2 و3 من هذا الملحق، وترد عبارات انحطاط نوعية الأداء في الفقرة 4، بينما يشار في الفقرة 5 إلى بعض النتائج النموذجية المفيدة.

المحاكاة بالماذج الإحصائية

2

تسمح المحاكاة بإعداد إحصاءات عن التداخلات من خلال دراسة التداخلات الصادرة عن كل موقع N_a من الواقع المتباعدة بعضها عن بعض بالتساوي في المدار. وبغية الحصول على مجموع التداخلات تبحث المدارات N_0 مع العقد الصاعدة الخاصة بها والمتباعدة بالتساوي على خط الاستواء. قد لا تكون هذه الطريقة في الحقيقة نموذجية في حالات عديدة لكنها أكثر ملاءمة

أو أقل تقييداً فيما يخص التقاسم، لأنها هي التي تنشر التداخلات على سطح الأرض. وينبغي في دراسات لاحقة بحث نتائج هذه الافتراضات مع فرضية المدارات الدائرية.

و واضح أن هناك موضعين محتملين للتداخلات $N_a \times N_0$ من أجل ساتل واحد. ويكون الاحتمال المصاحب لأي منهما نتيجة ذلك هو $1/(N_a \times N_0)$.

و تعد حالة السواتل المتعددة التي تشكل كوكبة منتظمة سهلة الدراسة أيضاً. فالكوكبة المنتظمة تتتألف من مجموعة سواتل منتشرة على مجموعة مستويات مدارية متطابقة ومتباينة فيما بينها بشكل منتظم. ويشمل كل مستوى منها نفس العدد من السواتل المتباينة بصورة منتظمة فيما بينها على المدار. ويمكن الحصول على تغطية منتظمة أكثر وعلى تقاسم أقل تقييداً عندما تكون مجموعة السواتل ذات أطوار متساوية. أي أنه حين يوجد ساتل على مدار يتقاطع مع الاستوائي، فإن هناك ساتلاً على كل مستوى من المستويات المدارية يتقاطع مع الاستوائي في الاتجاه نفسه.

وفيما يخص الكميات المحددة سابقاً، وإذا كان N_a هو مضاعف صحيح لعدد السواتل في كل مدار، N_{spo} وكان N_0 هو مضاعف صحيح لعدد المستويات المدارية N_{orb} ، في الكوكبة، فإن عدد الحالات المنفردة للكوكبة هو $(N_0/N_{orb})(N_a/N_{spo})$.

3 تحديد التداخلات

يفترض أن الإرسالات الصادرة عن السواتل محدودة بالطريقة التقليدية: بسوية منخفضة لكثافة تدفق القدرة من أجل زوايا الارتفاع على الأرض أقل من الحد المنخفض وبكثافة تدفق قدرة أعلى لزوايا ارتفاع أعلى من الحد المرتفع، مع زيادة خطية بين هذين الحدين بدلالة زاوية الارتفاع. ويعبر عن كثافة تدفق القدرة هنا بالوحدة (dB(W/m².MHz)).

وكسب الهوائي (φ) للمستقبل الأرضي هو ما نصت عليه التوصية ITU-R F.699 من أجل قيم كسب قطر وتردد تمثل مدخل منفصلة. وتعطي المساحة الفعلية القابلة للتطبيق من أجل تحديد قدرة التداخلات المستقبلة التي تسببها كثافة تدفق القدرة في زاوية φ كالتالي:

$$A_{eff} = \frac{\lambda^2}{4\pi} G_R(\varphi)$$

حيث λ هو طول الموجة (m).

4 وضع خاتم لأثر التداخلات في الأنظمة الرقمية

يعبر غالباً عن احتمال انقطاع نظام رقمي بالشكل التالي:

$$(14) \quad P_0 = C \left[10^{-DFM/10} + 10^{-TFM/10} + 10^{-(C/I - CNC)/10} \right]$$

حيث:

C : ثابت يتعلق بعلمات المناخ والأرض والوصلات

DFM : هامش حماية من الخيو المشتت (dB)

TFM : هامش حماية من الخيو الذي تسببه الضوضاء الحرارية (dB)

C/I : نسبة كثافة الإشارة دون خيو إلى قيمة الضوضاء المكافئة لقدرة التداخلات (dB)

CNC : قيمة نسبة الموجة الحاملة/الضوضاء التي يراعى فيها معيار الأداء (dB).

تملك الأنظمة الرقمية الحديثة عادة هامش حماية من الخبو المشتت أعلى من الخبو الذي تسببه الضوضاء الحرارية وهي في تحسن. لذلك يحتمل لأسباب خاصة بالتدخلات ألا يراعي المصطلح الأول في المعادلة (14). وبينما يمكن أن تكون قدرة التدخلات المكافحة لضوضاء مسببة للتدخل محددة على مستقبل معين أقل من الكثافة المقيسة، يمكن لاعتبارات التقاسم العامة وخاصة عند وجود عدة مسببات للتدخل الافتراض الخذر بأن التدخلات لها أثر الضوضاء الحرارية نفسه مع نفس القدرة. ونظراً إلى أن الفرق بالديسيبلات بين نسبة الموجة الحاملة/الضوضاء دون الخبو ونسبة الموجة الحاملة/الضوضاء الحرجة (CNC) هو هامش الحماية من الخبو الذي تسببه الضوضاء الحرارية، (TFM)، فإن الزيادة النسبية P_0 أي احتمال تجاوز نوعية الأداء تعادل نسبة القدرة المسببة للتدخل I على قدرة الضوضاء N_T حيث تقاس القدراتان في الكاشف بالواط W أو بالواط لكل وحدة عرض نطاق. وهكذا، تساوي هذه الزيادة النسبية I/N_T لكل قدرة تدخلات ثابتة I . ولتبسيط العرض، تعين هذه الزيادة P_0 كانخفاض الأداء أو أيضاً كانخفاض بنسبة مئوية في الأداء.

وإذا أنتج مسبب للتدخل قدرة تدخل I_i خلال جزء من الشهر f_i ولم يظهر أثناء الأجزاء المتبقية من الشهر، فإن الانحطاط النسبي للأداء الإضافي الذي يعزى إلى مسبب التدخل يمكن أن يعطى كالتالي:

$$\Delta P_{0,i} = \frac{I_i f_i}{N_T}$$

يعطى الانحطاط النسبي للأداء (FDP) الذي يعزى إلى مجموعة أسباب بالمعادلة التالية حيث i تقابل الجزء من الزمن الذي كانت خلاله قدرة التدخلات هي I_i :

$$(15) \quad FDP = \sum \Delta P_{0,i} = \sum \frac{I_i f_i}{N_T}$$

حيث يعطي المجموع أسباب التدخل كلها. ويشكل المجموع على الصيغة $I_i f_i$ المكافئ التقديري للحظة الأولى لتوزيع احتمال القدرة المسببة للتدخل في المستقبل وإن f_i هي الاحتمال الذي تأخذ فيه القدرة المسببة للتدخل قيمة تتراوح ما بين I_i و $I_i + \Delta I_i$.

ويمكن أيضاً أن يعبر عن الانحطاط النسبي للأداء (FDP) في شكل خسارة في هامش الحماية من الخبو (FML) (dB) حيث:

$$(16) \quad FML = 10 \log (1 + FDP)$$

بينما تعطى السوية المتوسطة للتدخل أعلى من الضوضاء الحرارية بوحدات dB بالصيغة $10 \log FDP$.

بالرغم من أن المعادلة (14) قد استعملت بالدرجة الأولى لتحديد تكرار الانقطاع (احتمال أن يتتجاوز معدل الخطأ في البتات للمستقبل 1×10^{-3} ، لكن معظم قياسات نوعية أداء الأنظمة الراديوية الرقمية تتطابق مع الانقطاعات. ويمكن إذاً أن تستعمل المعادلة (15) كقياس لانخفاض النسبي للأداء . بينما تعطي المعادلتان (15) و(16) الحدود المعقولة لانخفاض الأداء من أجل سويات تدخل معتدلة وربما تقلل من شأن الآثار الناجمة عن سويات تدخل أعلى مثلًا بمقدار 20 dB من الضوضاء الحرارية، لأن آثار التشتت التي تضمنها العبارة الأولى في المعادلة (14) بدأت تصبح هامة ولأن ظاهرة الخبو فيما يخص زاوية ورود منخفض، يخشى ألا تتبع قانون رايلى الضمني في المعادلة (14).

ويفضل من أجل تقييم الآثار الناتجة عن سويات التداخل العالية، أن تبحث على حدة المعايير المتعلقة بالتدخل قصير المدى أو أن يدرس التوزيع التراكمي لنسبة القدرة للإشارة المستقبلة إلى مجموع قدرتي الضوضاء والتداخل (انظر الملحق 6) وتعمل لجنة الدراسات 9 للاتصالات الراديوية حالياً على إعداد طريقة تكون أكثر ملاءمة.

والمسألة الأخرى المتعلقة بسويات التداخل العالية تكمن في معرفة ما إذا كانت هذه السويات عالية بشكل كافٍ لأن تسبب انحطاط الأداء في أخطاء الوصلة عند الفقر إلى الخبو. وربما يتلزم مراعاة معايير نوعية الأداء مثل معدلات الخطأ في البتات المتبقية (التوصية ITU-R F.634) أو معايير أخرى مطلوبة للإيفاء بأحكام التوصية ITU-T G.826. ويمكن التغاضي عن آثار أسباب التداخل هذه فقط عندما تكون نادرة الحدوث بما يكفي أو لا تحدث على الإطلاق.

إن المعادلة (15) تكيف من حيث الشكل تماماً مع الدراسات بشأن التدخلات لأنها تسمح بمعالجة الكواكب الساتلية الكبرى فقط سواء كانت موحدة أم لا. ويسهل إضافة إلى ذلك تقييم آثار الكواكب المتعددة إذ يمكن إضافة الانحطاط النسبي للأداء الناتج عن كل كوكبة منها للحصول على الانحطاط FDP الكلي أو المركب.

5 وصف طريقة بدائلة لحساب الانحطاط FDP

لنفترض أن نوعية الأداء لمرحل راديوي رقمي يعمل على قفزة ما، تتعلق بتكرار الخبو العميق الذي يسببه الانتشار على مسارات متعددة في هذه القفزة. هنا تكمن الفرضية المعقولة فيما يخص أنظمة مجهرة بسويات عرضانية تكيفية وفعالة وأنظمة ذات قفزة ضيقة مثل الأنظمة التي تعمل بترددات تقل عن 3 GHz.

إذا كانت C هي سوية الإشارة المستقبلة عند غياب الخبو و N_T هي سوية الضوضاء الحرارية و k هي القيمة الدنيا للنسبة C/N_T اللازمة للإيفاء بشرط نوعية الأداء المرجعي، فإن ظروف مراعاة الشرط اللازم لن تستوف حين تكون:

$$(17) \quad \frac{rC}{N_T} < k$$

حيث:

عامل الخبو : r

$A / 10^{-10}$ =

عمق الخبو (dB). : A

وإذا وجد تداخل له تقريراً صفة ضوضاء غوسية مع متوسط القدرة I في الكاشف، فإن صفة الأداء المرجعي لن تستوفي حين يكون:

$$(18) \quad \frac{rC}{N_T + I} < k$$

وواضح أن المعيار لم يستوف حين يكون:

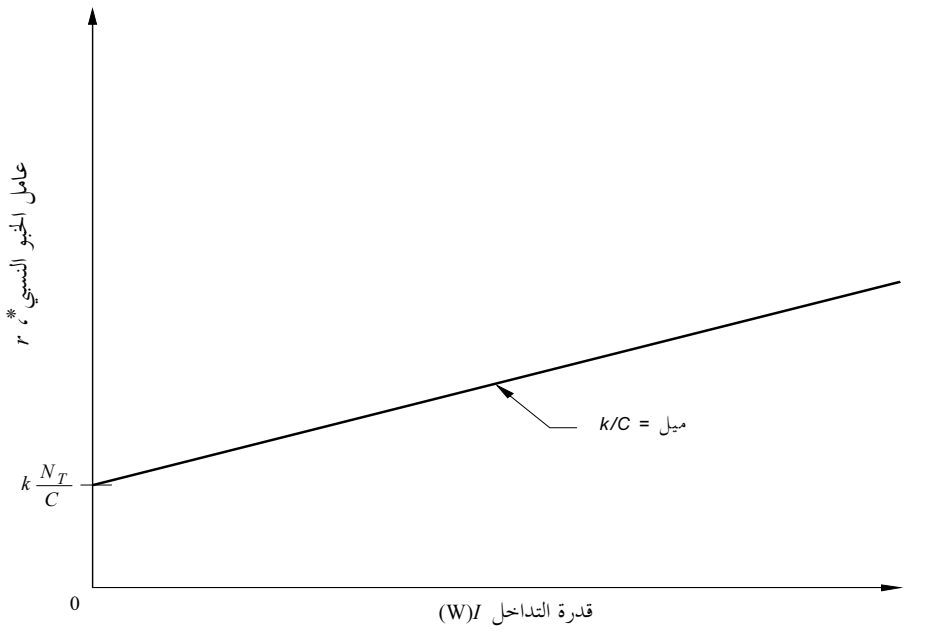
$$(19) \quad r \leq k \left(\frac{N_T}{C} + \frac{I}{C} \right)$$

يشير الشكل 10 إلى حد المنطقه حيث تم التتحقق تماماً من عدم التكافؤ في المعادلة (18). وإذا كانت القدرة المسببة للتداخل غير ثابتة، فإن مراعاة هدف الأداء المرجعي تتطلب أن يكون احتمال التكرار الآني للخبو والتداخل صغيراً بقدر كافٍ (قيم أقل من خط الفصل في الشكل 10). وبدقّة أكثر، إذا كانت $p_r(r)$ هي دالة كثافة الاحتمال المتعلقة بعامل الخبو، و(I) هي دالة كثافة الاحتمال المتعلقة بقدرة التداخل، وبفرض أن هذه العمليات مستقلة، فإن الجزء من الشهر P_{0i} الذي لا يستوفي فيه معيار النوعية الحرج يعطى كالتالي:

$$(20) \quad P_{0i} = \int_0^{\infty} dI \int_0^{(k/C)(N_T + I)} p_r(r) p_I(I) dr$$

الشكل 10

حد المنطقه التي يستوفي فيها معيار النوعية



* نسبة القدرة مع الخبو إلى القدرة بدون الخبو.

1108-10

و فيما يخص معظم الحالات الهامة، تعتمد قيمة المعادلة (20) على تكرار الخبو العميق الذي يعزى إلى الانتشار على مسارات متعددة ويمكن أن يسّط تقييم هذه القيمة. وتشير التوصية ITU-R P.530 إلى أن احتمال كون عامل الخبو في نظام الخبو العميق، أقل من r هو متناسب مع r . مما يعني أن دالة كثافة الاحتمال المرتبطة بعامل الخبو ينبغي أن تكون ثابتة.

$$(21) \quad p_r(r) = \beta \quad r \ll 1$$

حيث β هو ثابت التناوب الذي يمكن وصفه بعامل تكرار الخبو، وهكذا فإن الجزء من الشهر الذي لا يستوفي حالته معيار الأداء الخامس يتحدد باستعمال المعادلة (21) في المعادلة (20).

$$(22) \quad P_{0i} = \frac{\beta k}{C} (N_T + I_{av})$$

وحيث I_{av} هو متوسط قدرة التداخل، أي

$$(23) \quad I_{av} = \int_0^{\infty} I p_I(I) dI$$

إن الانحطاط FDP هو الزيادة النسبية للنسبة المئوية من الزمن التي لا يستوفى فيها معيار الأداء المرجعي بسبب وجود التداخل. وإذا كانت قيمة المعادلة (22) هي P_{0o} عند غياب التداخل فيمكن أن يعبر عن الانحطاط $FDP = (P_{0i}/P_{0o}) - 1$ أي:

$$(24) \quad FDP = \frac{I_{av}}{N_T}$$

أي ما يعادل المعادلة (15)

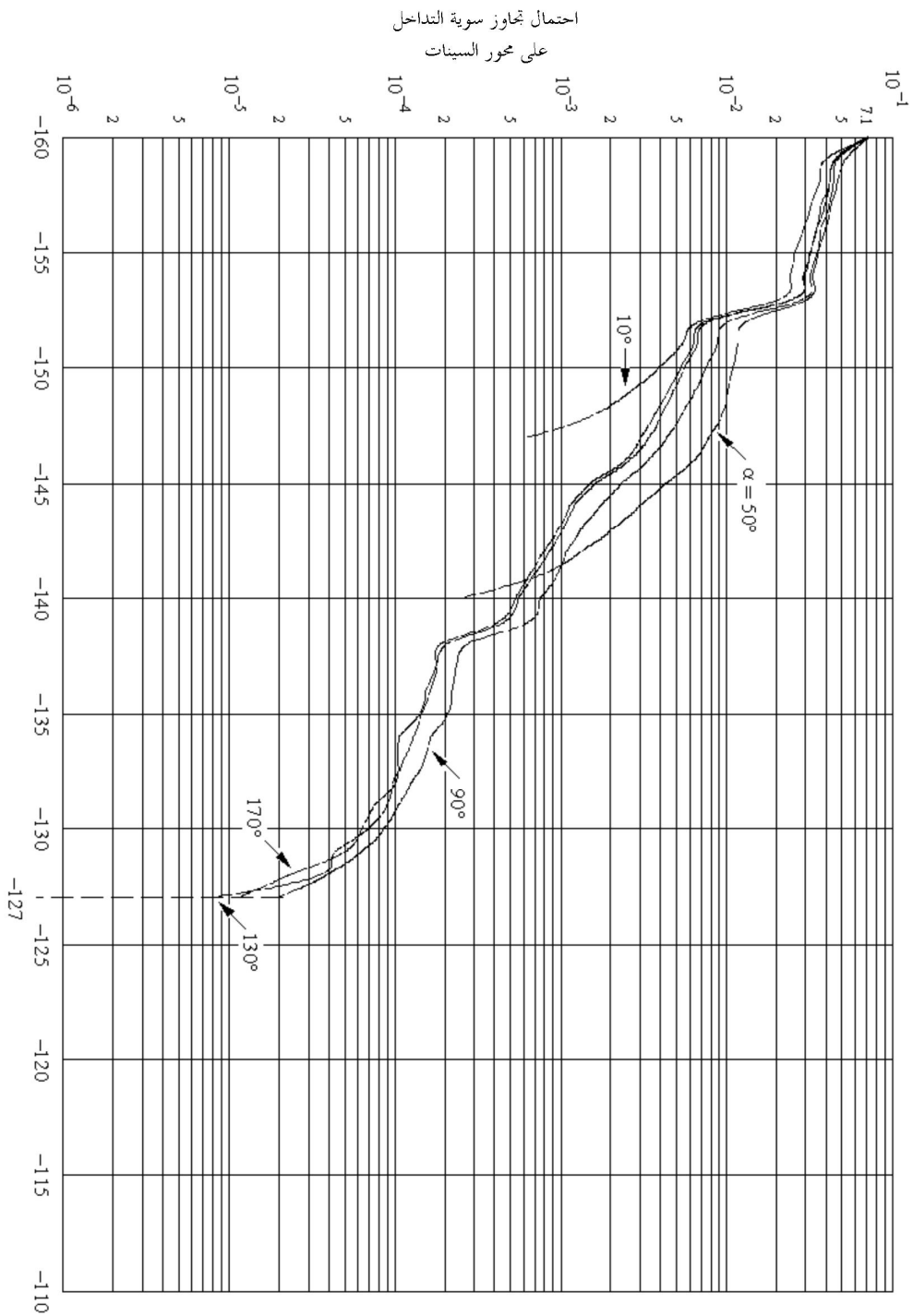
6 نتائج عينات للمحاكاة

تعرض هذه الفقرة بعض النتائج لعدد معين من المسارات الآلية الاختبارية للمحاكاة. والمهدف هو تحديد بعض الاتجاهات الأساسية والمناطق التي تثير مشكلة. ويفترض، إلا إذا تحدد عكس ذلك، أن المحطة الأرضية تقع على خط عرض 40 درجة شمالاً وتشغل في 2,000 GHz مع هوائي يبلغ قطره 2,76 m وكسب مقداره 33 dB وأن الخسائر التي تعزى إلى إرشاد الموجات هي 2 dB. وطبقاً للتوصية ITU-R F.759 يتحدد عامل الضوضاء المستقبل عند 4 dB. وتطابق الإرسالات الساتلية حد كثافة تدفق القدرة -130 dB(W/m². MHz) من أجل زوايا ارتفاع مقدارها 5 درجات أو أقل وترتفع بمقدار 0,5 dB كل درجة ما بين 5 درجات و 25 درجة، وإذا تم تجاوز هذه القيمة فهي تساوي الحد -120 dB(W/m². MHz). أما التداخلات التي تعزى إلى السواتل فهي مختبرة بتزايد يبلغ 0,5 درجة حول المدار من أجل 720 مداراً متبعاً بصورة منتظمة حول خط الاستواء.

ويبين الشكل 11 التوزيع التراكمي لقدرة التداخل التي تستقبلها هوائيات ذات سمات مختلفة والصادرة عن ساتل في مدار يتحدد بارتفاع مقداره 800 km وبزاوية ميل تبلغ 50 درجة. ونظرًا إلى ميل المدار المحدود، لا يمكن أبداً مشاهدة الساتل بجوار الأفق في الشمال. وهكذا لا تستقبل هوائيات المسدة ضمن 50 درجة من القطب الشمالي أبداً تداللاً في محور التسديد ويكون توزيعها مبتوراً. نتيجة لذلك، يتواافق الاحتمال الأكبر للرصد في نقطة التسديد عند زوايا سمت أكبر إلى حد ما. وتظهر هذه النتيجة بوضوح في الشكل 12 في منحني الانحطاط بنسبة مئوية من نوعية الأداء وذلك فيما يخص زوايا متعددة مطابقة لهذه الحالة.

الشكل 11

التوزيع التراكمي لقدرة الملاسية للتداخل في محطة أرضية تقع على خط عرض 40° نسبية إلى سائل في
مدار زاوية ميله 50° وارتفاعه 800 km

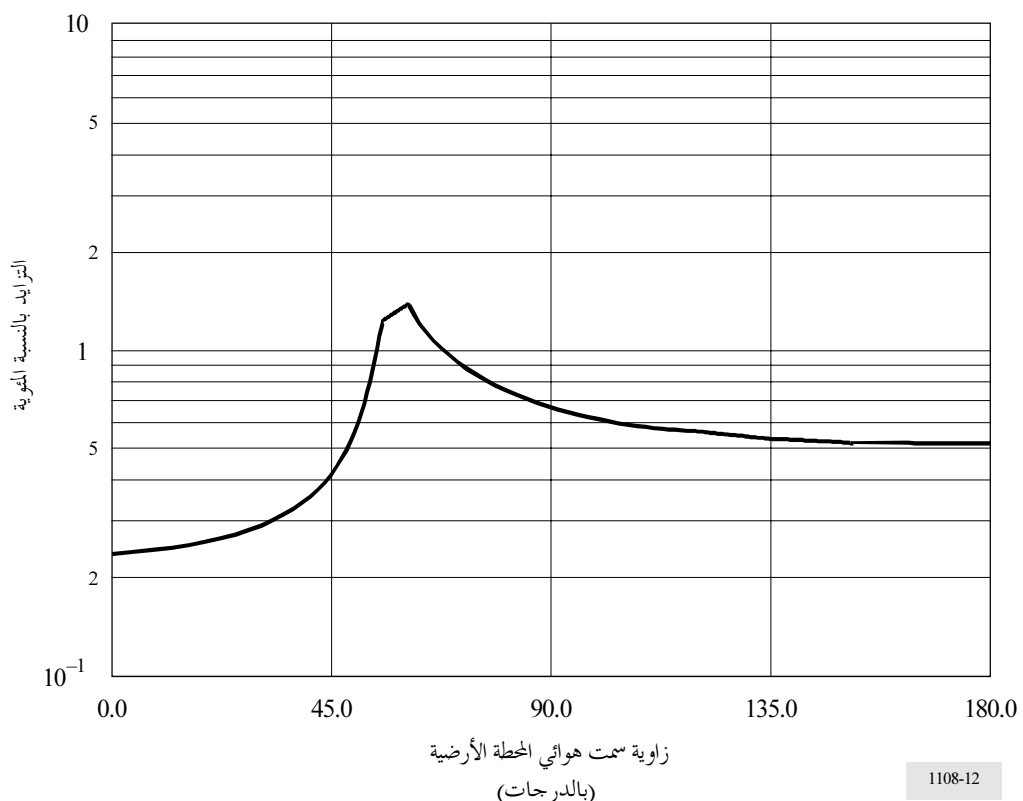


α : زاوية سمت التسليد من القطب الشمالي

1108-11

الشكل 12

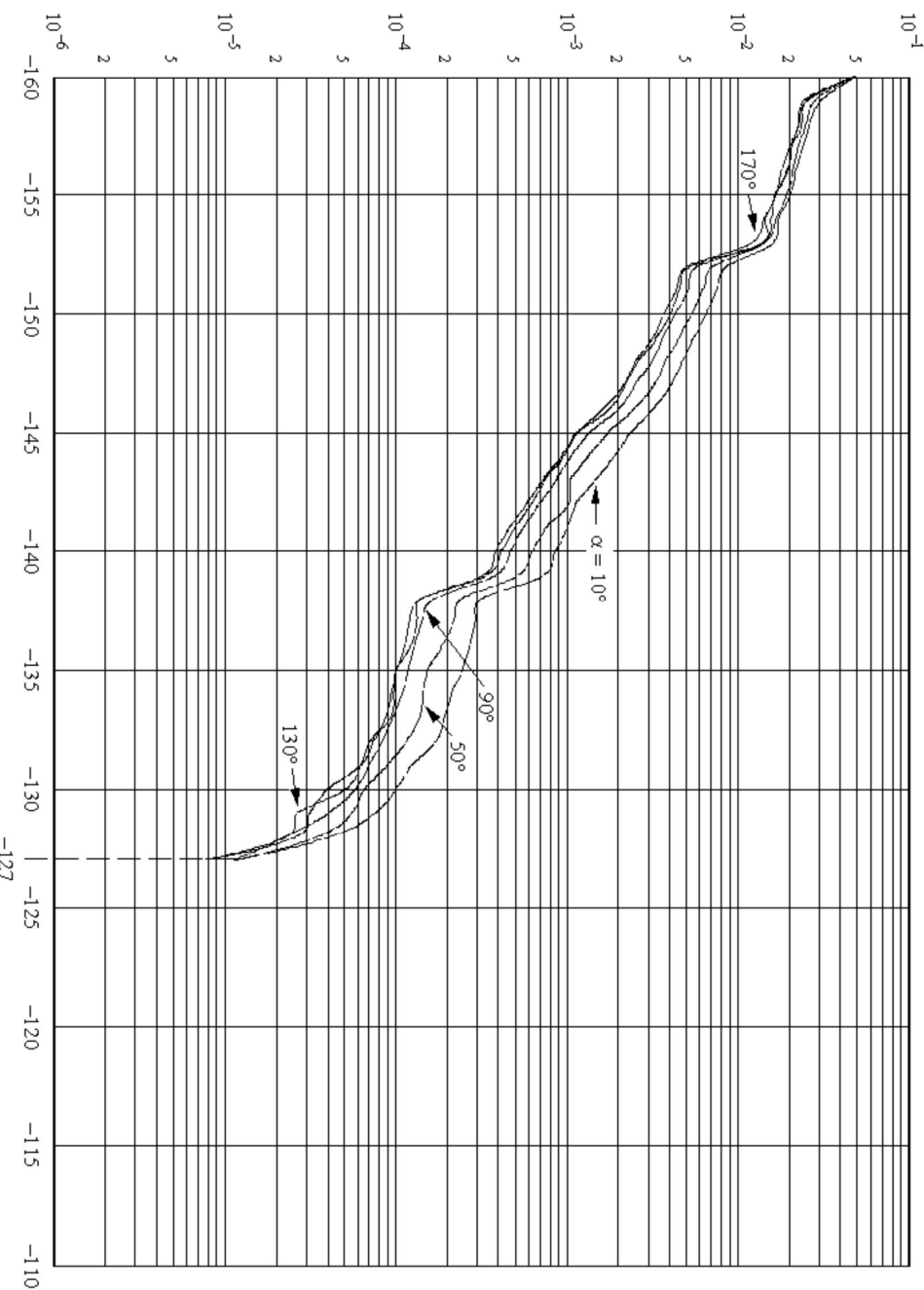
الانحطاط بالنسبة المئوية لنوعية الأداء من أجل الحالة الواردة في الشكل 11



ويبين الشكل 13 التوزيع التراكمي لقدرة التداخل المستقبلة من أجل نفس الوضع باستثناء الميل المداري الذي يبلغ هنا $5,89^{\circ}$.
وجلي أن أثر السمت هو أقل وضوحاً في هذه الحالة.

الشكل 13

التوزيع الراكمي للفدرة المسببة للتدخل في محطة أرضية تقع على خط عرض 40° نسبة إلى سائل في
مدار زاوية ميله $89,5^{\circ}$ وارتفاعه km 800

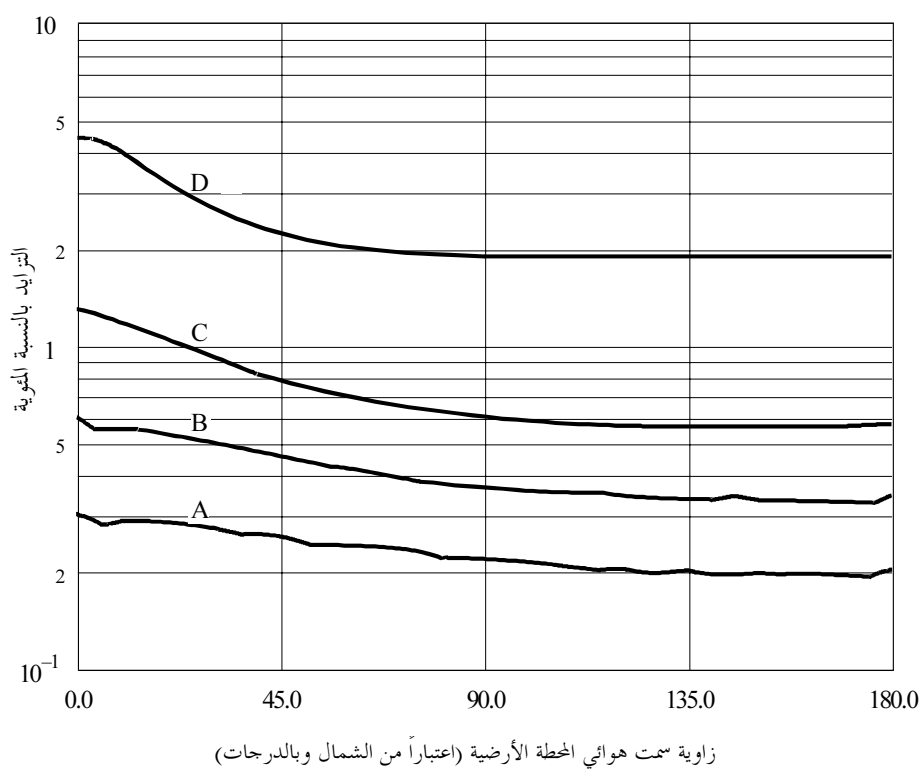


تجاوز القدرة المسببة للتدخل
أوالية سنت السديد من الخط الشمالي
1108-12

يوضح الشكل 14 أثر ارتفاع السائل من خلال منحنيات الانحطاط بالنسبة المئوية لنوعية الأداء بدلالة زاوية السمت. ويزداد خطياً انحطاط نوعية الأداء الذي يسببه السائل مع ارتفاع المدار حتى $10\ 000\ km$ تقريرياً مثلما هو حال منطقة الأرض المرئية في أي لحظة من السائل.

الشكل 14

الانحطاط بالنسبة المئوية لنوعية الأداء لخطه أرضية تقع على خط عرض 40 درجة وتلخص لتدخلات صادرة عن سائل في مدار محدد بزاوية ميل $89,5^{\circ}$ وارتفاعات مختلفة



المنحنيات: A: الارتفاع = 400 km

B: الارتفاع = 800 km

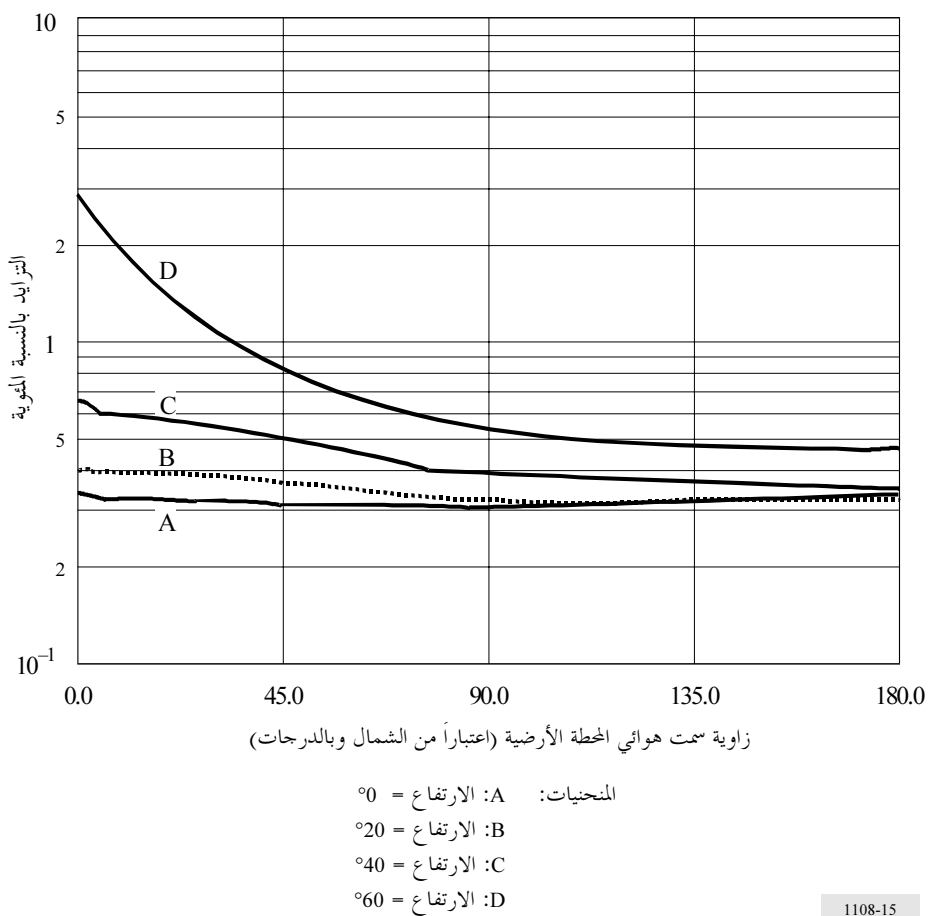
C: الارتفاع = 1 600 km

D: الارتفاع = 10 000 km

ويوضح الشكل 15 أثر ارتفاع المخطة الأرضية في الانحطاط نوعية الأداء، وحين لا يكون في هذا الأثر خطورة فهو يكتسب أهمية تزداد كلما تم الاقتراب من القطبين فيما يخص زوايا التسديد شبه القطبية.

الشكل 15

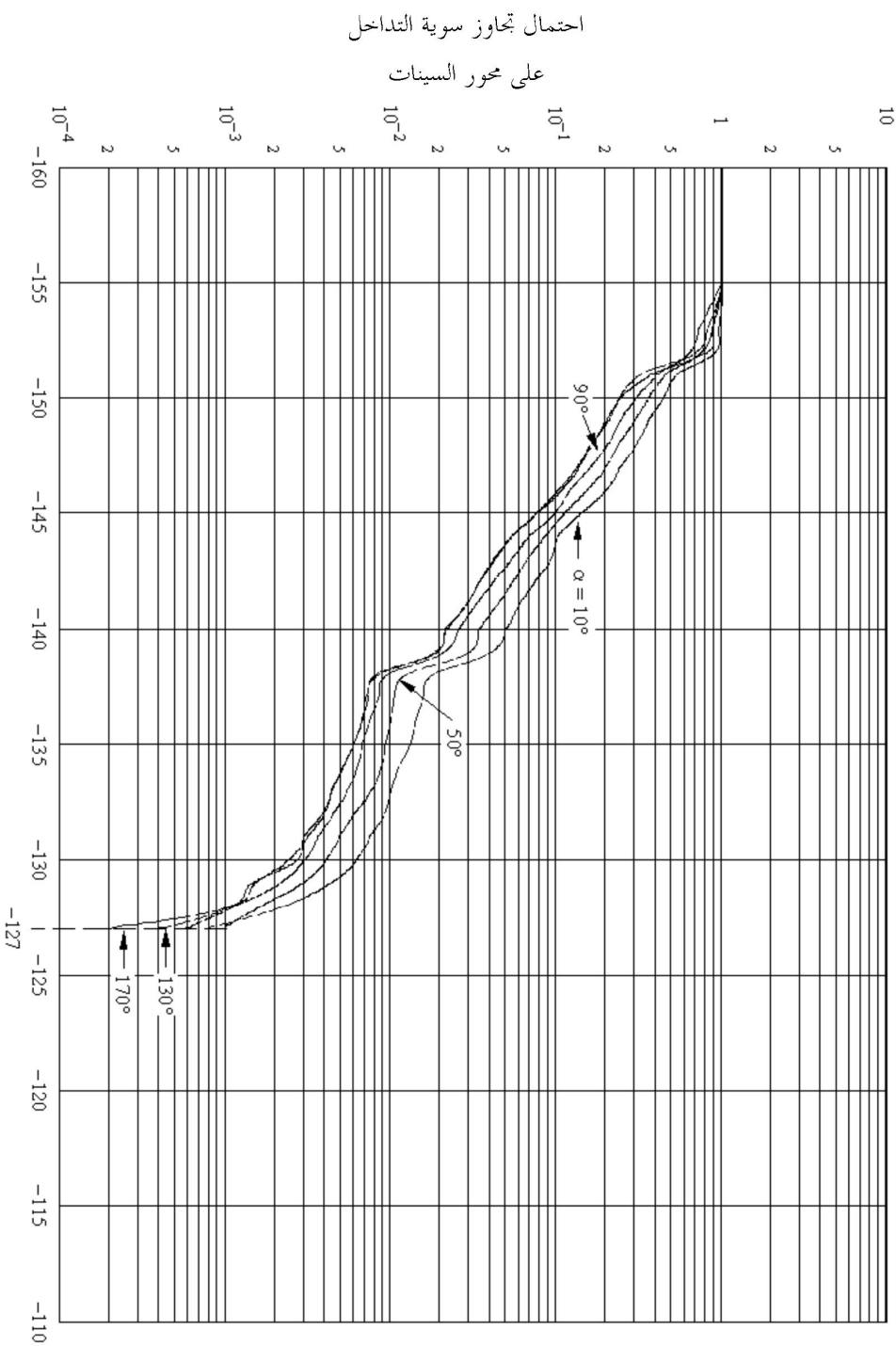
الانحطاط بالنسبة المئوية لنوعية الأداء مخطة أرضية وخطوط عرض مختلفة وتخصيص لتدخلات
صادرة عن ساتل في مدار محدد بزاوية ميل 89,5 ° وارتفاع km 800



يبين الشكلان 16 و17 أثر مرکبة موحدة مكونة من 55 ساتلاً عمل في نفس القناة كما لو أنها تستخدم النفاذ المتعدد بتقسيم شفري (CDMA). ويظهر عند المقارنة بين الشكلين 13 و16 أن توزيع التدخلات من أجل حالة ساتل واحد مشابه تماماً الحالات السواتل المتعددة. وتظهر هذه المقارنة حليمة في الشكل 17 حيث يتبيّن أن الانحطاط في نوعية الأداء الذي يسببه 55 ساتلاً أسوأ بمقدار 55 مرة من الانحطاط الذي يسببه ساتل واحد.

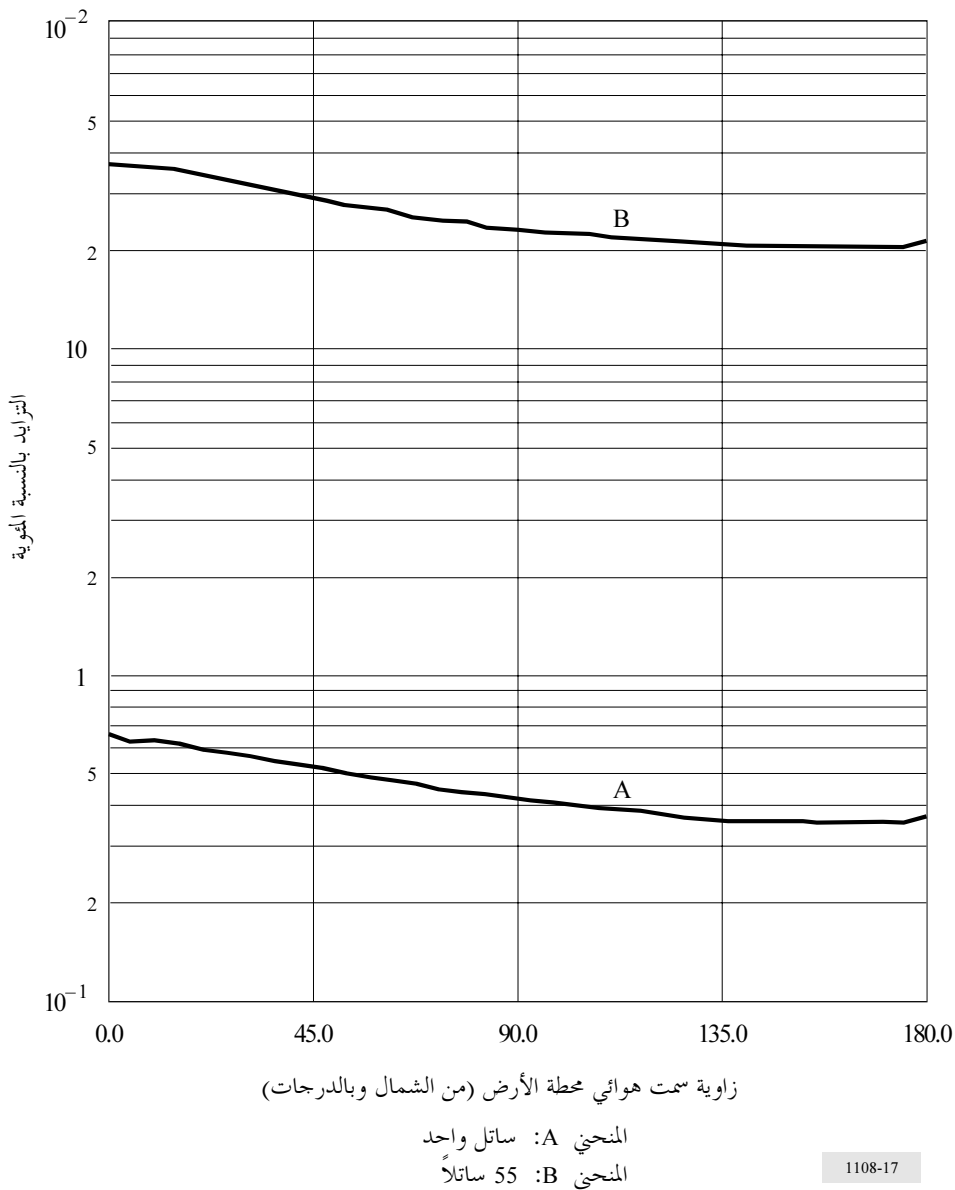
الشكل 16

توزيع التراكمي للتدخلات الناجمة عن كوكبة من 55 مداراً على مسافة 55 سألاً^o
برؤية ميل قدرها 89,5° وارتفاع 800 km في محطة أرض واقعة على خط عرض 40°



الشكل 17

الانحطاط بالنسبة المئوية لنوعية الأداء لمحطة أرضية تقع على خط عرض 40°
وتتعرض لتداخلات صادرة عن ساتل واحد وكوكبة منتظمة مؤلفة من 55 ساتلاً
على مدارات محددة بزاوية ميل $89,5^{\circ}$ وارتفاع 800 km



7 استنتاجات مؤقتة

تبين أن الانحطاط نوعية الأداء يتاسب مع عدد السواتل في كوكبة منتظم. ويعبر عموماً عن هذا الانحطاط بأثر تراكمي لجميع السواتل التي تسبب تداخلات في نطاق مرور المستقبل.

وفيما يخص سواتل على مدارات غير متزامنة مع الأرض تستعمل نفس تغير كثافة تدفق القدرة بدلالة زاوية الارتفاع وتكون تغيرات الانحطاط FDP الذي تتعرض له مستقبلات الأرض الواقعه على ارتفاعات متوسطة محدودة تبعاً لما يلي:

- زاوية التسديد - تبعاً لعامل ثالثي من أجل خطوط عرض تصل إلى 60 درجة وارتفاعات تصل إلى 800 km
- ارتفاع السائل - زيادة خطية تقريباً مع الارتفاع
- خط عرض المخطة - زيادة تبلغ الصعف تقريباً من أجل خط عرض يتراوح ما بين 20 درجة و60 درجة.

يمكن أن تغير هذه الاستنتاجات من أجل زيادات مختلفة لكتافة تدفق القدرة. ويمكن للانحطاط FDP الخاص بالمحطات الواقعه في خطوط عرض مرتفعة بدلالة زاوية السمت أن تتعرض لتغير أكبر بكثير في حالة سواتل على مدارات شبه قطبية. ويمكن تيسير التقاسم باقتران زيادة كثافة تدفق القدرة أو حد الكثافة مع ارتفاع المدار وزاوية ميله. وتنطلب هذه الإمكانيه المزيد من الدراسة.

وتعتمد هذه الاستنتاجات على استعمال المدارات شبه الدائرية غير المتزامنة مع الأرض، وفي الواقع فإن استخدام المدارات شديدة الإهليجية يتطلب المزيد من المعلومات والدراسة إذ إن إحصاء التداخل بوجه خاص يخشى ألا يكون ثابتاً أثناء مراحل الشهر حيث يجب أن تراعي معايير نوعية الأداء. وتنطلب وسائل التكيف مع هذا التشغيل المزيد من الدراسة.

ويزيد استعمال المدارات المتزامنة مع الأرض من تغير الانحطاط بالنسبة المئوية لنوعية الأداء نسبة إلى زاوية التسديد والمخطة الأرضية على السواء. وهنا تكمن أنماط الاعتبارات التي تشكل عادة جزءاً من إجراء التنسيق المفصل. وبما أنه قد يبدو من غير الممكن الشروع بمثل هذا التنسيق لكل محطة أرضية، فإن الحل البديل يمكن في تخفيض السوية المسموح بها للإرسالات الناتجة عن السواتل (كتافة تدفق القدرة). ويمكن في الحقيقة تحديد عتبات فقط، لكن يلزم إجراء دراسة إضافية.

إذا استعملت سواتل مستقرة بالنسبة إلى الأرض وسواتل غير مستقرة بالنسبة إلى الأرض في نطاق الترددات نفسها فإن اعتبارات التقاسم تنطوي على تعقيد متزايد لا سيما أن آثار التداخلات لنمطي السائل تتراكم.

وقد جرى في هذا الملحق دراسة التداخل الذي تسببه الكواكب الساتلية التي تشغل الطيف بصورة موحدة على أساس مشترك للتردد وافتراض أن الإرسالات الساتلية مقيدة بمدى قناع ثابت لكتافة تدفق القدرة على الأرض. إلا أن بعض الأنظمة يمكن أن تعمل داخل الكوكبة مع أسلوب إعادة استعمال الترددات الذي يمكن أن يحسن إمكانيات التقاسم. وإذا طبقت هذه المنهجية في دراسة مفصلة تتناول أنظمة محددة يمكن الاستفادة عند تقييم آثار التداخل من حزم الهوائي وخطط إعادة استعمال الترددات المنفذة في السواتل.

الملحق 4

منهجية لتحديد الآثار الناتجة عن التداخلات في المستقبلات الرقمية التي تعمل بأشكال متنوعة

مقدمة

1

تطبق غالباً أشكال متعددة من أنواع الترددات في نطاقات الترددات حيث يكون الخبو الذي يعزى إلى الانتشار على مسارات متعددة هو السبب الرئيسي في انحطاط نوعية الأداء عند غياب التداخلات. وإن التحسين الناتج فيما يخص نوعية الأداء عند غياب التداخلات والانحطاط نوعية التنوع تحت تأثير التداخلات كل ذلك يعتمد إلى حد ما على شكل التسow الذي جرى اختياره. وفي بعض الأنظمة يمكن الحصول على هوائي يتمتع بخصائص مختلفة عن خصائص الموجائي الرئيسية فيما يخص الحصول على إشارة تنوع. ويمكن أن تتفنن أنظمة متعددة تجهيزات التركيب/التبديل المختلفة من أجل الحصول على إشارة مجتمعة. أما الأشياء الأخرى فهي متساوية، فالنظام الذي يستعمل هوائيات متماثلة في مسارات الإشارة الرئيسية والإشارة التنوعية يقدم أكبر تحسين لنوعية الأداء إذا ما قورن بنظام دون تنوع. ويبدو أيضاً أن النظام ذا التنوع هو أقل حساسية لآثار التداخلات.

بغية حساب الانحطاط FDP لنظام ذي تنوعية، يفترض أن النظام الرقمي يستعمل هوائيات متماثلة في كلا طرفي التنوع. ويفترض أيضاً أن هذا النظام يعمل في نطاق ضيق أو متكافئ بما يكفي لكي تعتمد نوعية أدائه المطلوبة بشكل رئيسي على خبو الإشارة. وفي هذه الحالة فإن الجزء من الشهير الذي لا يستوفى حالاته معيار النوعية P_{0i} يمكن أن يحسب بمساعدة الصيغة (20) شريطة التمييز بين الكميتيين المقابلتين للتنوع وعدم التنوع ويصبح إذاً:

$$(25) \quad P_{0i} = \int_0^{\infty} dI p_I(I) \int_0^{(k/C)(N_T + I_C)} dr p_r(r)$$

تعد قدرة التداخل I وتوزيعها في القناة التي تحتوي على الموجائي الرئيسي مميزة نسبة إلى N_T قدرة الضوضاء المكافئة للنظام الموزع على هذه القناة مثلما في حالة عدم التنوع. وبغية تحديد الانحطاط الذي يعزى إلى التداخل، تدرس قدرة التداخل بعد المعالجة I_C بالنسبة إلى الضوضاء بعد المعالجة. ونظرًا لوجود كسب مرتفع للنظام أعلى من التنوع، يمكن اعتماد معالجة إشارة الخروج بحيث يأخذ مكون الضوضاء القيمة N_T . وتكون قدرة التداخل في إشارة الخروج المعامد معايرتها هي I_C . وهكذا في حالة التنوع يعاد رسم الشكل 10 حيث I_C هي إحداثيات السينات من أجل تحديد المعادلة (25).

وفيما يخص نظام للخدمة الثابتة يعمل باستعمال التنوع ويكون فيه الخبو العميق الذي يعزى إلى الانتشار على مسارات متعددة هو السبب الرئيسي للانحطاط في نوعية الأداء، تقدم التوصية P.530 ITU-R طريقة تبيح التنوع بسويات الإشارات ضيقة النطاق التي تستلم بالتنوع في نظام الخبو العميق. ويمكن استنتاج أن احتمال عامل الخبو الذي يقل عن r هو تناسبي مع r^2 . وينتج عن ذلك أن دالة كثافة الاحتمال من أجل عامل الخبو يجب أن تكون تناسبية مع r وأن:

$$(26) \quad p_r(r) = \gamma r \quad r \ll 1$$

حيث تراعي المعلمة γ في هذه العبارة الآثار التي تعزى إلى نمط التنوع.

للحظة أن المعادلة (26) تناسب عموماً وصف الأداء بالتنوع لأنظمة الخدمة الثابتة بوجود الخيو على مسارات متعددة. وعند الاستبدال والتكامل بين المعادلين (25) و(26) يمكن الحصول على:

$$(27) \quad P_{0i} = \frac{\gamma k^2}{2C^2} \int_0^{\infty} (N_T + I_C)^2 p_I(I) dI$$

أو الانحطاط النسبي للأداء بالتنوع (DFDP):

$$(28) \quad DFDP = \int_0^{\infty} \left(\frac{2I_C}{N_T} + \frac{I_C^2}{N_T^2} \right) p_I(I) dI$$

يمكن حساب المعادلة (28) بسهولة في حالتين هامتين: التنوع المثالي بالتبديل والتنوع بالجمع بالجتمع بين تساوي الكسب والقدرة القصوى. وسيبحث نطا التنوع فيما يلي من أجل الحالة التي يكون فيها هوائي قناة التنوع نفس كسب هوائي القناة الرئيسية وتكون القناتان ما عدا ذلك متماثلين.

2 التنوع التبديل

إن عملية التنوع في هذه الحالة تتحقق عن طريق تشغيل بالتبديل يختار إشارة الخيو الأقل. وبالتالي تظهر قدرة التداخل أو قدرة الضوضاء المكافحة في هوائي أو آخر في الخرج دون أن تخضع للمعايرة، و:

$$(29) \quad DFDP = \int_0^{\infty} \left(\frac{2I}{N_T} + \frac{I^2}{N_T^2} \right) p_I(I) dI$$

أو:

$$(30) \quad DFDP = \int_0^{\infty} \left(\frac{2I}{N_T} + \frac{I^2}{N_T^2} \right) p_I(I) dI$$

وحيث I_{av} هي كما تحددت في المعادلة (23)، اللحظة الثانية لقدرة التداخل وهي تعطى كالتالي:

$$(31) \quad I_2 = \int_0^{\infty} I^2 p_I(I) dI$$

ويمكن أيضاً للمعادلة (30) أن تكتب بنفس شكل المعادلة (15) للاستعمال في المحاكاة:

$$(32) \quad DFDP = \sum f_i \left[\frac{2I_i}{N_T} + \left(\frac{I_i}{N_T} \right)^2 \right]$$

3 تجميع القدرة القصوى

إن المضمam ذا القدرة القصوى يعدل الطور النسبي بين قناتين للتنوع بحيث يتحقق توافق الطور بين نسختي الإشارة المرغوب بهما في القناتين. ونظراً إلى التماสك بين التداخلات التي يسببها الهوائيان فإن النسبة I/N تكون أعلى بمرتين في خرج المضمam عنها في الدخل إذا كان للتداخل الطور النسبي نفسه الذي للإشارة المرغوب بهما. وإذا كانت φ هي زوايا نصف قطرية تعين الفرق بين زححة الطور للتداخل من قناة إلى أخرى وبين زححة الطور للإشارة المرغوب بها، فإن قيمة I_C تعطى كالتالي:

$$(33) \quad I_C = 2I \cos^2(\varphi/2)$$

يمكن لهذه العبارة أن تدخل في المعادلة (28). وإذا افترض أن الطور φ هو موزع بانتظام بين 0 و 2π فيمكن تحديد تأثيره المتوسط ويمكن الحصول على الآتي:

$$(34) \quad DFDP_{mpc} = \int_0^\infty \left(\frac{2I}{N_T} + \frac{3I^2}{2N_T^2} \right) p_I(I) dI$$

أو:

$$(35) \quad DFDP_{mpc} = 2 \frac{I_{av}}{N_T} + \frac{3I_2}{2N_T^2}$$

يمكن أيضاً أن تكتب هذه العبارة على شكل المعادلة (15) للاستعمال في المحاكاة.

$$(36) \quad DFDP = \sum f_i \left[\frac{2I_i}{N_T} + \frac{3}{2} \left(\frac{I_i}{N_T} \right)^2 \right]$$

4 الخسارة في هامش الحماية من الخيو بالتنوع (DFML)

بناء على ما تقدم، يمكن التنبؤ بأن الانحطاط النسبي في نوعية الأداء لنظام ما بالتنوع يكون على الأقل ضعف الانحطاط لنظام دون تنوع لكنه يتطابق إذا كانت بيئه التداخل نفسها. وبالعكس، إذا طبقت المعادلة (26) يمكن بسهولة التوصل إلى أن الخسارة DFML من أجل قيمة معينة DFDP هي أصغر بمرتين من الخسارة في نظام دون تنوع من أجل نفس قيمة FDP:

$$(37) \quad DFML = 5 \log(1 + DFDP)$$

إذا تحدد التفاوت في قدرة التداخل في مستقبل الخدمة الثابتة σ^2 بالطريقة المعتادة:

$$(38) \quad \sigma_I^2 = I_2 - I_{av}^2$$

ويمكن كتابة العلاقة التالية من أجل DFML بدالة FDP في حالة عدم التنوع:

$$(39) \quad DFML = 10 \log \sqrt{(1 + FDP)^2 + (FDP \sigma_I / I_{av})^2}$$

5 ملخص

عندما تكون قدرة التداخل ثابتة في نظام الاستقبال للخدمة الثابتة، أو متغيرة بشكل طفيف مع الزمن، فإن الخسارة في هامش الخبو للنظام تبقى نفسها مع التنوع أو بدونه. ويمكن في معظم الحالات أن تعتبر اختلافات التداخل ضعيفة إذا كان التفاوت في قدرة التداخل مشابهاً لمربع متوسط قدرة التداخل.

والتائج التي تم التوصل إليها إن عمليات عديدة لمحاكاة التداخل الذي تسببه الكواكب الساتلية المنتظمة تدل على أن التفاوت في قدرة التداخل هو غالباً أعلى بعده عشرة من مربع متوسط قدرة التداخل. وفي هذه الحالة تصبح مساهمة التفاوت في التداخل المعبّر عنه في العبارة الثانية من المعادلين (30) و(39) هي الأثر السائد، وهذا يحد من السويات المقبولة لقدرة التداخل سواء استعمل الانحطاط في نوعية الأداء أو الانخفاض في هامش الحماية من الخبو.

وإذا تعين تقييم آثار التداخل في الأنظمة التي تعمل بالتنوع، فإن المعيار الأبسط للمقارنة هو انخفاض هامش الحماية من الخبو في نظام مثالي ذي تنوع بالتبديل.

الملحق 5

اعتبارات خاصة بانتظام بيئه التداخل على مدى شهر

إن مسقط الساتل non-GSO في مدار دائري يرسم بدلالة الزمن مسيراً على سطح الأرض. وبعد عدد معين من المدارات الكاملة يعود المسير إلى نفس النقطة تقريباً على سطح الأرض. أما الوقت المنقضي إلى حين حدوث هذه العودة فهو "دور تكرار" الساتل. وقد تتطلب الكواكب الساتلية وخاصة تلك التي لديها دورات تكرار قصيرة (عدة أيام أو فترات طويلة مثل أشهر عديدة) انتباهاً خاصاً ذلك لأنه يجب على أنظمة الخدمة الثابتة تلبية متطلبات نوعية الأداء في أي شهر كان.

أما الفترة التي وقع عليها الاختيار لمحاكاة التداخل الذي تسببه كوكبة السواتل non-GSO لمستقبلات الخدمة الثابتة فيجب أن تراعي شرطين اثنين. الأول هو أن تعادل فترة المحاكاة دور تكرار الكوكبة أي الزمن المنقضي بين مرورين متتابعين لسوائل ما فوق نقطة معينة من سطح الأرض. والثاني هو الانتظام في بيئه التداخل الناتج عن الكوكبة على خط الطول. وإن إحصاءات التداخل الذي تلقاه مستقبلات متماثلة للخدمة الثابتة الواقعة على نفس خط العرض قد تتوقف أيضاً على خط طول المخطة. ويمكن تقييم هذا التغير بدلالة خط الطول عن طريق تفحص توزيع المرات الاستوائية على خط الطول جنوب-شمال لكل ساتل من سواتل الكوكبة خلال دور الساتل.

ويمكن أن تتعارض الخدمة الثابتة بمعنى أن تراعي متطلبات الأداء في أي شهر كان، فيجب تقييم التداخلات الصادرة عن السواتل على أساس الشهر الأكثر سوءاً، أي على مدى فترة اسمية تدوم 30 يوماً. وأجريت محاكاة لتحديد انخفاض المامش في نظام الخبو من أجل مستقبلات الخدمة الثابتة التي تعمل بالتنوع أو بدونه. وقد دلت هذه الدراسات على أن المعلمتين FDP أو FML تتعلقان بالخصائص المدارية وبالشروط الأولية للكوكبة إذ تحدد هذه الخصائص انتظام بيئه التداخل على مدى شهر.

ويمكن استعمال طرائق متعددة للحصول على الانتظام الطولي في تحطيط كوكبة السواتل non-GSO مثل تغيير ارتفاع السواتل أو تعديل الزاوية التي تشكلها المستويات المدارية و/أو إجراء زحرة الطور للسوائل من مستوى إلى آخر داخل المستويات. وتتطلب جدوى هذه الطرائق المزيد من الدراسة. وليس الطريقة المختارة مهمة فيما يخص الخدمة الثابتة، المهم هو مراعاة النقطة التالية: يخشى إذا لم يتم الحصول على الانتظام، أن يواجه عدد كبير من محطات الخدمة الثابتة بيئه التداخلات الأسوأ. وينبغي ألا تغيب هذه النقطة عن الأذهان عند إجراء دراسة تفصيلية للأثار التي تنتجهما التداخلات في الأنظمة الفعلية.

الملحق 6

منهج لتحديد التوزيع التراكمي لنسبة القدرة الواردة إلى مجموع قدرات الضوضاء والتداخل حسب نتائج محاكاة إرسالات الكواكب التي تشكلها المحطات الفضائية non-GSO

$$1 \quad \text{العلاقة بين } C/I \text{ و } C/(N+I)$$

تسمح الطرائق المعروضة في الملحق 3 بتحديد القيمتين FDP و FML في الأنظمة الرقمية التي تقع عتبات الأداء الخاصة بها في منطقة الخبو العميق الذي يعزى إلى الانتشار على مسارات متعددة. ويمكن التوسيع بالطريقة الواردة في الفقرة 5 من هذا الملحق لتشمل أنظمة الخبو الأقل عمقاً حيث يمكن أن يكون شكل التوزيع التراكمي لأعمق الخبو هاماً. ويمكن تحديد التوزيعات التالية لهذا الغرض:

احتمال أن تتعرض الإشارة المستقبلة إلى خبو يدفعها إلى سوية دنيا تقل بمقدار A (dB) أو أكثر عن المستوى الاسمي أو سوية الاستقبال بدون الخبو $: F_M(A)$

احتمال أن تكون النسبة (dB) لقدرة الموجة الحاملة في مجموع قدرات الضوضاء والتداخل أدنى بمقدار Z (dB) على الأقل من قدرة الموجة الحاملة/الضوضاء عند غياب الخبو. $: F_{C/(N+I)}(Z)$

وفيما يخص المعادلة (20) فإن حساب التكامل للمتغير r يعطي $F_M(Z - 10 \log (1 + I/N_T))$ ويكون العنصر الأيسر من هذه المعادلة هو $F_{C/(N+I)}(Z)$ ويكون إذاً

$$(40) \quad F_{C/(N+I)}(Z) = \int_0^{\infty} p_I(I) F_M(Z - 10 \log (1 + I/N_T)) dI$$

وفيما يتعلّق بأي توزيع للخبو على المسيرات المتعددة وبأي دالة لكتافة الاحتمال لقدرة التداخل الواردة، تسمح المعادلة (40) بالحصول على توزيع تراكمي لنسبة قدرة الموجة الحاملة إلى مجموع قدرات الضوضاء والتداخل. وتحتاج عادة المحاكاة بالحاسوب لتحديد كثافة الاحتمال للتداخل في مستقبل الخدمة الثابتة التي تعزى إلى كوكبة السواتل non-GSO. وإذا تمت المحافظة على هذا التوزيع يمكن أن يستعمل لاحقاً في المعادلة (40) من أجل حساب آخر يرمي إلى تقييم الآثار التي يحدثها الخبو متوسط العمق في نوعية الأداء.

2 غذجة التوزيع التراكمي لأعمق الخبو

أعد القطاع ITU-R نموذجاً رياضياً يرد وصفه في التوصية ITU-R P.530 ويتألف من مجموعة توزيعات للخبو على المسيرات المتعددة تميز بعلمة qt . ويسمح هذا النموذج بتحديد الدالة (A) لجميع قيم A , الموجبة منها والسلبية. ويؤمن النموذج أساساً نافعاً لتحديد الإجراءات وتوضيح النتائج. ويستعمل هذا النموذج لهذا الغرض في الفقرات التالية.

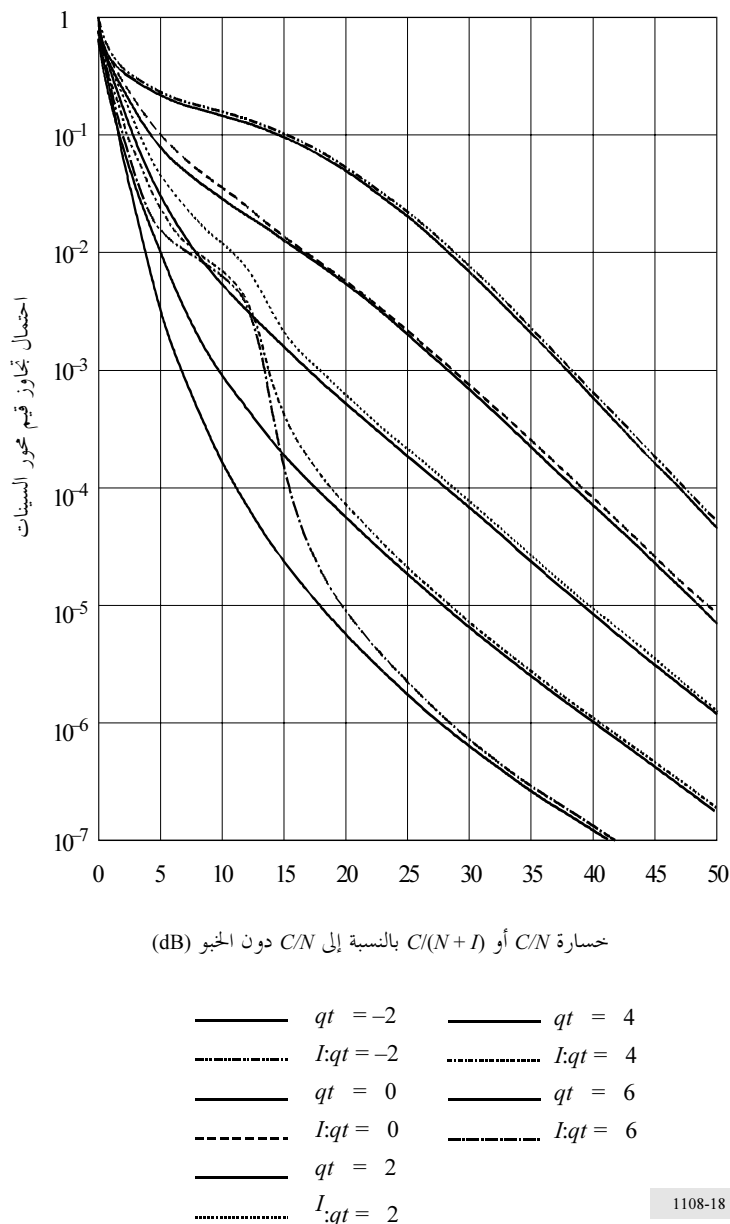
3 مثال

يوضح الشكل 18 خمسة أزواج من منحنيات التوزيع لتخفيض النسبتين C/I و $C/(N+I)$ بمعدل زوج لكل خمس قيم للمعلمة qt ورسمت هذه المنحنيات استناداً إلى قيم كثافة احتمال التداخل المحددة في الحالة التالية: محاكاة كوكبة LEO-F تعمل مع سويات كثافة تدفق القدرة الواردة في التوصية ITU-R M.1141 في التردد 180 MHz، حيث يحدث التداخل في محطة استقبال للخدمة الثابتة الواقع عند خط عرض 40 درجة وزاوية السمّت في الحالـة الأكثـر سوءـا هي 50 درجة. وتوجد قيمة واحدة للمعلمة qt من أجل مسـير معـين للخدـمة الثـابتـة مع طـول وـموقـع معـينـين في منـطـقة جـيوـمنـاخـية. وتقـابـل المسـافـة الرـأسـية لأـي نقطـة عـلـى منـحـنيـات توـزـيع C/N وـحتـى توـزـيع المـقـابـل $C/(N+I)$ الخـطاـطاـناـ في نوعـيـة الأـداءـ؛ أـما الفـصل الأـفـقـيـ فيـقـابـل الخـسـارـةـ FMLـ. ويـكـن لـسـافـاتـ الفـصـلـ بـيـن توـزـيعـيـ C/I وـ $C/(N+I)$ أـن تـحدـد بدـقـة بـوـاسـطـة بـرـنـامـج حـاسـوبـ مـلـائـمـ. ويـبـينـ الشـكـلـ 19ـ نـتـائـجـ حـسـابـ كـهـذاـ مـنـ أـجلـ توـزـيعـاتـ الـوارـدةـ فيـ الشـكـلـ 18ـ.

إن الفرق بين C/N و C/I عند غياب الخبو يمثل عمق الخبو. وتنخفض خسارة هامش الخبو بشكل طفيف من أجل خبو بعمق قليل حين $qt = -2$ ، وبالمقابل فيما يخص القيم الإيجابية qt التي تعد أكثر نموذجية للخبو تحت التردد 3 GHz، ترتفع هذه الخسارة بشكل كبير من أجل الخبو قليل العمق.

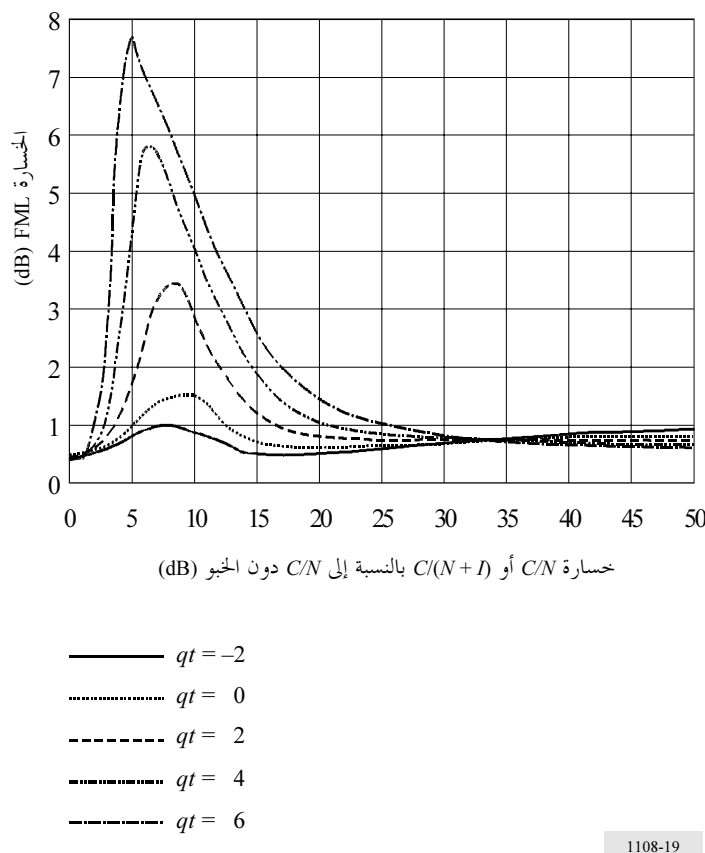
الشكل 18

احتمال التوزيعات التراكمية للخسارة C/N أو $C/(N+I)$ بالنسبة إلى C/N بدون خبو منحنيات ناجمة عن محاكاة الكوكبة LEO-F من أجل التشغيل بدون تنوّع في حالة هوائي الاستقبال للخدمة الثابتة موجة عند زاوية سمت 50° شمالاً من أجل قيم متعددة للمعلمة qt



الشكل 19

الخسارة FML دون تنوع من أجل قيمة معينة لعمق الخبو منحنيات مستندة إلى الحاكاة المستعملة في الشكل 18
 (زاوية السمت = 50°)



1108-19

استنتاجات

4

قد تكون الخسارة FML في سويات الخبو المعتدلة أكبر بكثير من الخسارة في الخبو العميق. ويمكن أن يصل الفرق إلى عدد كبير من الديسيبلات. وتكون أكبر قيم FML مصاحبة لميل التوزيع التراكمي للخبو. ويظهر ذلك عند مقارنة الشكلين 18 و19. وتبين هذه المقارنة أن الخسارة تبلغ حدتها الأقصى في توزيعات الخبو التي تمثل ميلاً أكبر وبجوار سويات الخبو المقابلة لهذه المنحنيات. وواضح أن الخسارة FML في عمق خبو معتدل تتأثر بميل التوزيع التراكمي لسويات الخبو على مسیر معین.

ومع ذلك يمكن أن تطبق المنهجية المعروضة في هذا الملحق على جميع توزيعات أعمق الخبو. ويفترض أن تطبق على توزيعات حقيقة أو على النموذج الموصوف في التوصية ITU-R P.530. وإن التقييم الدقيق لأثر FML الفعلي على نوعية الأداء لنظام معين للخدمة الثابتة يتطلب معرفة دقيقة بخصائص هذا النظام أو نوعيته فيما يخص أداء الأخطاء من أجل سوية خبو معينة مع معايير نوعية الأداء الخاصة به.

الملحق 7

طريقة تحليلية لتقدير التداخلات الناجمة في محطة خدمة ثابتة عن كوكبة سواتل غير مستقرة بالنسبة إلى الأرض عاملة في مدارات دائيرية أو إهليلجية بما فيها المدارات شديدة الإهليلجية (HEO)

مقدمة 1

فيما يلي الفرضيات التي تستند إليها كوكبة السواتل غير المستقرة بالنسبة إلى الأرض:

- M_s هي المستويات المدارية و N_s عدد السواتل في كل مستقر؛
- التباعد الزاوي بين المستويات المدارية المجاورة ثابت؛
- الفترة الزمنية الفاصلة بين أي ساتلين متقاربين في نفس المستوى ثابتة؛
- دور المدار غير مرتبط رياضياً بدوران الأرض؛
- جميع السواتل ترسل على ترددات متتماثلة؛
- زاوية الميل δ هي واحدة لجميع السواتل.

فضلاً عن ذلك وفي حالة المدار الإهليلجي يفترض أن زاوية الخضيض مشتركة لجميع السواتل. يمكن تطبيق الطريقة موضوع هذا الملحق بهدف تقدير التداخلات التي تسببها كوكبة سواتل غير مستقرة بالنسبة إلى الأرض. تستخدم مدارات أرضية متوسطة أو منخفضة، وتضم سواتل كثيرة تعمل في عدد من المستويات لتأمين تغطية عالمية شاملة. ولا تضع هذه الطريقة حدوداً فيما يخص المبادئ المطبقة على مدى الترددات. باستثناء الحدود الواردة في توصيات القطاع ITU-R ذات الصلة إن وجدت. وتتلخص خصائص الطريقة التحليلية التي بتناولها هذا الملحق في الفقرة 6.

غير أنه ينبغي إدخال بعض التعديلات على هذه الطريقة في حالة التداخلات التي تسببها كواكب السواتل غير المستقرة بالنسبة إلى الأرض العاملة في المدارات شديدة الإهليلجية (HEO).

ويقدم التذييل 2 لهذا الملحق التعديلات الواجب إدخالها على الطريقة التحليلية الواردة فيما بعض لكي تصبح قابلة للتطبيق على كواكب السواتل غير المستقرة بالنسبة إلى الأرض والتي تستخدم المدارات HEO.

وبالرغم من أن الطرائق التحليلية الواردة في هذا الملحق وفي التذييل 2 التابع له تستعمل نظام خدمة ثابتة يضم محطة واحدة، فإنه من اليسير توسيع نطاق تطبيقها ليشمل تقدير التداخل التراكمي مسيراً في نظام خدمة ثابتة بقفرات متعددة يتحدد فيه الانقطاع FDP مسيراً مسيراً باستعمال الصيغة الواردة في الملحق 2 بالتوصية ITU-R F.1107.

2 حالة المدارات الدائرية

إن المسافة الفاصلة بين الساتل ومركز الأرض في حالة المدارات الدائرية منتظامة. وكما أن دالة كثافة الاحتمال (pdf)، أي $p(u)$ لزاوية الساتل المحسورة بين u و $u+du$ منتظامة أيضاً وتساوي:

$$(41) \quad p(u) = 1/(2\pi)$$

وبافتراض أن مدة دوران الساتل تساوي 1، يمكن مع البقاء على مستوى عام التعبير عن الزاوية φ في اللحظة t ($0 \leq t < 1$) كالتالي:

$$(42) \quad u = 2\pi t$$

يمكن الافتراض في حال التقيد بشروط الفقرة 1، أن دالة كثافة الاحتمال (pdf) على خط الطول للساتل منتظمـة في الفاصل $[0, 2\pi]$.

وهكذا إذا كانت مستويات المدارات هي M_s وعدد السواتل في كل مستوى هو N_s ، يمكن افتراض أن دالة كثافة الاحتمال (pdf) لزاوية ساتل مرجعي منتظمـة على الفاصل $[0, 2\pi/N_s]$ وأن دالة كثافة الاحتمال (pdf) على خط طول الساتل للساتل منتظمـة في الفاصل $[0, 2\pi/M_s]$.

وهكذا إذا كانت مستويات المدارات هي M_s وعدد السواتل في كل مستوى هو N_s ، يمكن افتراض أن دالة كثافة الاحتمال (pdf) لزاوية ساتل مرجعي منتظمـة على الفاصل $[0, 2\pi/N_s]$. وأن دالة كثافة الاحتمال (pdf) لخط طول ساتل مرجعي، منتظمـة على الفاصل $[0, 2\pi/M_s]$ وإذا كانت زاوية الساتل وخط طول الساتل المرجعي هما φ وعلى التوالي يمكن عندئذ التعبير عن الزاوية u_{ij} وخط الطول φ_{ij} للساتل ذي الترتيب i الذي يدور في المستوى j (وذلك للقيم $i = 1, 2, \dots, N_s$ و $j = 1, 2, \dots, M_s$) بالطريقة التالية (انظر الملاحظة 1):

$$(43a) \quad u_{ij} = u + (i - 1) \frac{2\pi}{N_s}$$

$$(43b) \quad \varphi_{ij} = \varphi + (j - 1) \frac{2\pi}{M_s}$$

حيث $i = 1$ و $j = 1$ يقابلان الساتل المرجعي. ويمكن بعد ذلك تقييم التداخلات عموماً باتباع الطريقة التي يرد وصفها في الفقرة 4.

الملاحظة 1 - تفترض المعادلة (43a) عدم وجود فروق في الطور بين سواتل المستويات المختلفة. وينبغي في حال وجود هذه الفروق أن يدخل التعديل التالي على هذه المعادلة: $u_{ij} = u + \beta_j + (i - 1) \frac{2\pi}{N_s}$, حيث β_j هو فرق الطور في المستوى j ($\beta_1 = 0$).

3 حالة المدارات الإهليجية

1.3 مدى الساتل (بعدة عن مركز الأرض)

يمكن إعطاء المسافة (u) الفاصلة بين مركز الأرض وساتل في مدار إهليجي بدالة الزاوية φ بالصيغة التالية:

$$(44) \quad r(u) = \frac{r_0}{1 + e \cdot \cos(u - \omega)}$$

حيث e و ω هما الاختلاف المركزي وزاوية الحضيض على التوالي. وتعطى مسافتاً أوج المدار وحضيـضـه نسبة إلى مركز الأرض بالصيغتين $(e - 1)/r_0$ و $(e + 1)/r_0$ على التوالي. وعـكـسـياً يمكن التعبير عن r_0 و e بالطريقة التالية:

$$(45a) \quad r_0 = 2 r_{max} \cdot r_{min} / (r_{max} + r_{min})$$

$$(45b) \quad e = (r_{max} - r_{min}) / (r_{max} + r_{min})$$

حيث r_{min} و r_{max} هما مسافتاً الأوج والحضيـض (نسبة إلى مركز الأرض على التوالي).

2.3 دالة كثافة احتمال زاوية حضيـضـ الساتل

تقول النظرية المعروفة عن المدار الإهليجي (قانون كيلبر الثاني) إن "سرعة منطقة الكبس ثابتة" مما يمكن التعبير عنه كما يلي:

$$(46a) \quad r^2(u) \cdot (du / dt) = \text{constant}$$

أو

$$(46b) \quad dt \propto r^2(u) \cdot du$$

وتجدر الإشارة هنا إلى أن dt تتناسب مع احتمال أن تكون زاوية حضيض السائل محسوبة بين (u و $u + du$). وبالتالي تعطى دالة كثافة الاحتمال $p(u)$ للزاوية u لسائل ما على النحو التالي:

$$(47) \quad p(u) = \frac{\alpha}{[1 + e \cdot \cos(u - \omega)]^2}$$

وبينجي أن يساوي تكامل $p(u)$ مع u في المدى $0-2\pi$ الواحد، مما يتبع تحديد قيمة α :

$$(48) \quad \alpha = \frac{(1 - e^2)^{3/2}}{2\pi}$$

نلاحظ هنا أن خط عرض θ السائل يرتبط بزاوية الحضيض على النحو التالي:

$$(49) \quad \theta = \arcsin(\sin u \cdot \sin \delta)$$

حيث δ هي زاوية ميل المدار. وتنطبق هذه المعادلة في حالة المدارات الدائرية.

3.3 تحديد زاوية الحضيض بدلالة الزمن

يمكن أن نفترض تبسيطًا مع البقاء على المستوى العام، أن دور السائل يساوي 1. وغالبًا ما يكون من الضروري تحديد زاوية الحضيض (t) بدلالة الزمن t حيث $1 \leq t \leq 0$. ولذا يمكن حل المعادلة التالية:

$$(50) \quad t = \int_0^{u(t)} p(x) \cdot dx$$

ومن أجل تبسيط حساب (t) دون خسارة على صعيد الدقة، يمكن استعمال الطريقة الواردة فيما بعد والتي تنطوي على تقسيم المدة على N وعلى تحديد t_k كالتالي:

$$(51) \quad t_k = k/N \quad (k = 0, 1, \dots, N)$$

ويشار إلى زاوية الحضيض في اللحظة t_k بما يلي $(t_k)_{u_k} = u$ وتحدد بالعلاقة التالية:

$$(52) \quad \int_{u_{k-1}}^{u_k} p(x) \cdot dx = \frac{1}{N}$$

وتعطي العلاقة التالية قيمة تقريرية للزاوية u_k (لاحظ أن $u_0 = 0$):

$$(53) \quad u_k \cong u_{k-1} + \frac{1}{N \cdot p(u_{k-1})}$$

تنتج بافتراض أن $p(x)$ ثابت ويقع في المدى (u_{k-1}, u_k) . وتنطوي هذه الصيغة على قيمة تقريرية أولى u_k يمكن تحديد قيمتها الدقيقة باستعمال طريقة Newton-Raphson (انظر الملاحظة 1). وبذلك يمكن الحصول على u_k لجميع القيم $.u_N = 2\pi, \dots, 1, 0 = k$).

ويمكن تقرير القيمة $u(t)$ المقابلة للزمن t باستعمال الصيغة التالية:

$$(54) \quad (t) = N [(t_{k+1} - t) \cdot u_k + (t - t_k) \cdot u_{k+1}]$$

حيث $t_k < t < t_{k+1}$ (إذا كانت $t \geq 1$ ينبغي أن يستعاض عن هذا الفرق بالصيغة $t_{k+1} - t < t_k - 1 < t_k$). وإذا القيمة N كبيرة إلى حد كافٍ مثل ($N=10000$) تعطي المعادلة (54) قيمة دقيقة $u(t)$ بدلاً من الزمن. ويصف التذليل 1 طريقة حساب مبسطة تتيح الاستغناء عن تكامل المعادلة (52).

الملاحظة 1 - يرد فيما بعد وصف موجزاً لطريقة نيوتن-رافسون.

تتيح المعادلة (53) تحديد القيمة التقريرية v_0 للزاوية u_k :

$$(55) \quad v_0 = u_{k-1} + \frac{1}{N \cdot p(u_{k-1})}$$

وإذا عرفت القيمة التقريرية v_{i-1} يمكن إعطاء القيمة التقريرية التالية كما يلي:

$$(56) \quad v_i = v_{i-1} - \frac{f(v_{i-1})}{p(v_{i-1})} \quad (i = 1, 2, 3, \dots)$$

حيث

$$(57) \quad f(v_{i-1}) = \int_{u_{k-1}}^{v_{i-1}} p(x) \cdot dx - \frac{1}{N}$$

وتعطى القيمتان $p(v_{i-1})$ و $f(v_{i-1})$ بالمعادلة (47) (لاحظ أن $p(x)$ هي مشتقة $f(x)$). ويمكن الحصول بسهولة على قيمة دقيقة للزاوية u_k بتكرار الحسابات بالمعادلتين (56) و (57). أما التقارب فسريع جداً. وعلى سبيل المثال يمكن حساب القيمة $f(v_{i-1})$ باستخدام طريقة سمبسون.

4.3 تحديد موقع السواتل

تعرض هذه الفقرة طريقة لتحديد موقع السواتل غير المستقرة بالنسبة إلى الأرض والتي تدور في مدارات إهليجية. ويفترض وجود مستويات مدارية، M_s ، وعدد سواتل N_s في كل مستوىٍ.

نفترض عندئذ أن الموقع (الزمي) للساتل المرجعي موزع بانتظام في المدى $1/N_s < t < 0$ وأن خط طول هذا الساتل φ موزع بانتظام في المدى $2\pi/M_s < \varphi \leq 0$. وتعطى زاوية الحضيض $(t)u$ المقابلة لهذه الحالة في المعادلة (54). أما زوايا حضيض السواتل الأخرى الموجودة في نفس المدار فتقابل اللحظات $(k/N_s) + t$ حيث $k = 1 - N_s$.

وتتيح المعادلة (49) تحديد خطوط عرض السواتل في المستوى الموزاي للساتل المرجعي. ويمكن افتراض أن زوايا حضيض السواتل في المستويات المدارية الأخرى مماثلة لنظيرتها في السواتل التي تدور في المستوى المداري المرجعي. ومن السهل تحديد خطوط طول جمجمة السواتل استناداً إلى خط طول الساتل المرجعي وزاوية حضيشه.

ويفهم يتعلق بالحسابات الفعلية، من الضروري حساب التداخل في نقاط الاعتيان. ولهذا الغرض يتم تقسيم الزمن الأقصى (= $1/N_s$) للسائل على N_t وأقصى خط طول ($2\pi/M_s$) للسائل المرجعي على M_ϕ . وهكذا يكون الاحتمال ($M_\phi \cdot N_t$) أن يظهر السائل المرجعي في اللحظة وخط الطول التاليين:

$$(58a) \quad t = \frac{1}{N_s} \cdot \frac{i_t - 0.5}{N_t} \quad (i_t = 1, 2, \dots, N_t)$$

$$(58b) \quad \phi = \frac{2\pi}{M_s} \cdot \frac{j_\phi - 0.5}{M_\phi} \quad (j_\phi = 1, 2, \dots, M_\phi)$$

ويمكن تحديد خطوط عرض وخطوط طول جميع سواتل الكوكبة استناداً إلى المعادلات (49) و(54) و(58a) و(58b). وقد تكون القيمتان M_ϕ و N_t غير كافيتين وقت الحساب أطول من اللازم. لذا يستحسن اعتماد الطريقة الواردة أدناه في حال إجراء حسابات دقيقة في المناطق الحساسة.

ويينبغي حساب التباعد الزاوي للهوائي في كل خلية تحددها المعادلتان (58a) و(58b) ولكل سائل مرئي. وإذا كان أقل تباعد زاوي أدنى من قيمة العتبة المعينة تعين اعتبار الخلية المقابلة منطقة حساسة وتقسيمها من جديد إلى خلايا أصغر (انظر الملاحظة 1).

إذا كان الوقت وخط الطول المصاحبان للسائل المرجعي ناجحين عن المعادلتين (58a) و(58b) على التوالي يمكن الحصول على الوقت t_{ij} وخط الطول ϕ_{ij} المتعلقين بالسائل i الواقع في المدار $r = N_s, \dots, 2, 1$ عن طريق الصيغتين:

$$(59a) \quad t_{ij} = t + (i - 1)/N_s$$

$$(59b) \quad \phi_{ij} = \phi + (j - 1) 2\pi/M_s$$

حيث $i = 1$ وز $= 1$ يقابلان السائل المرجعي. ويمكن حساب زاوية الخطأ u_{ij} للسائل i في المستوى r بتطبيق المعادلتين (54) و(59a) (انظر الملاحظة 2).

الملاحظة 1 - عندما تكون زاوية ارتفاع المحطة المتأثرة بالتداخل (محطة خدمة ثابتة مثلاً) منخفضة جداً يمكن إهمال خلية حساسة نظراً لتأثيرات الأفق. ويستحسن لتفادي ذلك دراسة 9 خلايا ومنها الخلايا المجاورة للمنطقة الحساسة على أنها خلايا حساسة وتقسيمها بدورها إلى خلايا أصغر. أما إذا لم تكن زاوية ارتفاع هوائي الخدمة الثابتة منخفضة فمن غير الضروري تقسيم الخلايا المجاورة إلى خلايا أصغر.

الملاحظة 2 - يفترض في المعادلة (59a) أن السواتل لها نفس زاوية الخطأ في مختلف المستويات M_s . غير أن الحالة قد تكون مختلفة في بعض الحالات. وعندئذ فإن الأوقات t_{ij} المصاحبة للسوائل التي تدور في مستويات مختلفة تتحدد بالعلاقة $t_{ij} = t + \tau_j + (i - 1)/N_s$ حيث τ_j هو طور المستوى r ($\tau_1 = 0$).

4 زاوياً الارتفاع والسمت باتجاه السواتل في ظروف الانتشار في الفضاء الحر

يعطى خط طول السائل i في المستوى r بالمعادلتين (43a) أو (59b). ويمكن حساب خط العرض θ_{ij} لهذا السائل باستعمال المعادلة (49). بينما تعطي المعادلة (44) المسافة r_{ij} الفاصلة بينه وبين مركز الأرض. وتكون هذه القيم الثلاث هي الإحداثيات القطبية $(r_{ij}, \theta_{ij}, \phi_{ij})$.

وإذا افترضنا أن خط العرض (موجب في نصف الكرة الشمالي وسالب في نصفها الجنوبي) وخط الطول لمحطة الخدمة الثابتة المتأثرة بالتداخل هما θ_r و ϕ_r ، على التوالي، يمكن تحويل الإحداثيات القطبية المذكورة أعلاه على نحو تصبح فيه محطة الخدمة الثابتة في خط العرض 0° وخط الطول 0° . ولذا يوضع أولاً خط طول المحطة على 0° . فتكون عندئذ الإحداثيات الجديدة للسائل نسبة إلى محطة الخدمة الثابتة الواقعة على خط الطول 0° هي الإحداثيات القطبية $(r_{ij}, \theta_{ij}, \phi_{ij})$ التي تعادل الإحداثيات المتعامدة التالية:

$$(60a) \quad x = r_{ij} \cdot \cos \theta_{ij} \cdot \cos(\varphi_{ij} - \varphi_f)$$

$$(60b) \quad y = r_{ij} \cdot \cos \theta_{ij} \cdot \sin(\varphi_{ij} - \varphi_f)$$

$$(60c) \quad z = r_{ij} \cdot \sin \theta_{ij}$$

ثم يوضع خط عرض محطة الخدمة الثابتة على صفر درجة. وتعطى الإحداثيات المتعامدة الجديدة (x_1, y_1, z_1) للسائل نسبةً إلى محطة الخدمة الثابتة الواقعة على خط العرض 0° في الصيغة التالية:

$$(61a) \quad x_1 = x \cdot \cos \theta_f + z \cdot \sin \theta_f$$

$$(61b) \quad y_1 = y$$

$$(61c) \quad z_1 = -x \cdot \sin \theta_f + z \cdot \cos \theta_f$$

وتعطى زوايا الارتفاع ϵ_s والسمت γ_s (المقيسة من الشمال في نفس اتجاه عقارب الساعة) نسبةً إلى السائل المرئي من محطة الخدمة الثابتة في شروط الانتشار في الفضاء الحر كالتالي:

$$(62a) \quad \epsilon_{s0} = \arctan \left(\frac{x_1 - r_e}{\sqrt{y_1^2 + z_1^2}} \right)$$

$$\gamma_s = \arctan \left(\frac{y_1}{z_1} \right) \quad \text{for } z_1 > 0$$

$$(62b) \quad \gamma_s = \arctan \left(\frac{y_1}{z_1} \right) + \pi \quad \text{for } z_1 < 0$$

حيث r_e هي متوسط قيمة نصف قطر الأرض وتساوي 6370 km. ويلاحظ أن معادلات هذا القسم تكافئ المعادلات المقابلة لها في الملحق 1 بهذه التوصية.

5 التباعد الزاوي بين اتجاه هوائي الخدمة الثابتة والسوائل المرئية

يمكن الرجوع إلى التوصية ITU-R F.1333 لتحديد إمكانية رؤية السائل وزاوية ارتفاعه الفعلية ϵ في حال رؤيته مع مراعاة ظاهرة الانكسار الجوي. ويمكن عندئذ حساب التباعد الزاوي SA المقيس استناداً إلى اتجاه الحزمة الرئيسية هوائي الخدمة الثابتة باستعمال العلاقة التالية:

$$(63) \quad SA = \arccos(\cos \epsilon_s \cdot \cos \epsilon_f \cdot \cos(\gamma_s - \gamma_f) + \sin \epsilon_s \cdot \sin \epsilon_f)$$

حيث ϵ_s و ϵ_f هما زاويتا الارتفاع والسمت (مقيستان من الشمال في نفس اتجاه عقارب الساعة) نسبةً إلى الحزمة الرئيسية هوائي الخدمة الثابتة. ويبين هذا التباعد الزاوي تحديد كسب هوائي الخدمة الثابتة في اتجاه السائل وفقاً للتوصية ITU-R F.1245 في حالة الهوائي الاتجاهي. أما في حالة الهوائي شامل الاتجاه أو القطاعي فإن التباعد الزاوي SA يساوي $|45 - \epsilon_f|$ ، ينبغي حساب كسب هوائي الخدمة الثابتة في اتجاه السائل وفقاً للتوصية ITU-R F.1336.

الملاحظة 1 - يمكن استخدام التوصية ITU-R SF.1395 أو ITU-R F.1404 لحساب أقل خسارة ناجمة عن الامتصاص الجوي وذلك هام في تقدير التداخلات في محطات الخدمة الثابتة. وإذا نتج هذا الامتصاص في نطاقات الترددات التي لا تتناولها التوصيات المذكورة يمكن الإحالـة إلى التوصية ITU-R P.676.

6 ملخص خصائص الطريقة التحليلية

تفيد الطريقة التحليلية الواردة في هذا الملحق من الحالة التي لا يساوي فيها الدور المداري للساتل نسبة صحيحة من مدة دوران الأرض، وتكون دالة كثافة احتمال خط طول الساتل منتظمة في المدى $0-2\pi$. كما أن دالة كثافة احتمال زاوية φ موزعة بانتظام أيضاً في المدى $0-2\pi$ في حالة المدار الدائري. ومن ناحية أخرى وفي حالة المدار الإهليجي لا تكون زاوية φ موزعة بانتظام ولكنها تتحدد بدلالة الزمن كما هو محدد في الفقرة 3.3 ويتناسب احتمال وجود ساتل في الفاصل الزمني $(t, t+dt)$ مع القيمة dt . وتتيح المعادلة (49) حساب خط عرض الساتل بدلالة زاوية φ المحيط. وبالتالي يمكن اعتبار دالة كثافة الاحتمال لخط عرض الساتل مستقلةً عن دالة كثافة احتمال خط طول الساتل. ومع مراعاة ما تقدم يمكن تحديد موقع الساتل المرجعي بطريقة تحليلية كما ورد في الفقرة 4.3.

ويكفي في حال التقيد بالفرضيات الواردة في الفقرة 1، افتراض توزيع منتظم لموضع (زميناً) الساتل المرجعي في الفاصل $t < t_0 \leq 0$ وكذلك التوزيع المنتظم لخط طوله φ في الفاصل $2\pi/M_s < \varphi < 0$. وتنتج زاوية φ المحيط المقابلة (t) باستعمال المعادلة (54). ويمكن الحصول بسهولة على موقع السواتل الأخرى لنفس الكوكبة بدلالة موقع الساتل المرجعي.

وإذا ما لوحظت حساسية خاصة للتداخل في خلية معينة (عبارة أخرى إذا كان أقل تباعد زاوي مع السواتل المرئية أدنى من عتبة معينة) يستحسن عندئذٍ تقسيم هذه الخلية (والخلايا المجاورة) إلى خلايا أصغر من أجل تقييم التداخل بطريقة أدق، وبالمقابل في حال عدم الحساسية يكون التقسيم إلى خلايا أصغر غير مجد. وهذه نقطة هامة تعزز بشكل خاص فعالية الطريقة التحليلية من حيث الوقت المطلوب للحساب. وبناءً على ذلك ينبغي أن تبرهن الطريقة التحليلية على أنها أسرع بكثير من أي طريقة حاكمة عادية لإعطاء دقة مماثلة في الحساب. وعلى سبيل المثال إذا كان عدد الخلايا الحساسة للتداخل بما فيها الخلايا المجاورة يساوي 10% من مجموع الخلايا موضوع الفحص، يكون الوقت اللازم للحساب $1/10$ تقريرياً.

التبديل 1 للملحق 7

حسابات مبسطة لما ورد في الفقرة 3.3 من الملحق 7

يمكن تبسيط حسابات المعادلة (50) الواردة في الفقرة 3.3 من الملحق 7 مع تحويل حساب تكامل المعادلة (52) وذلك على النحو التالي.

يتم أولاً تحويل المتغير u في المعادلة (47) إلى متغير s كالتالي:

$$(64) \quad \frac{1}{1 + e \cdot \cos(u - \omega)} = \frac{1 - e \cdot \cos(s - s_0)}{1 - e^2}$$

حيث $u = 0$ تعادل $s = s_0$ وأدنى تحدد s_0 بافتراض $0 \leq \omega < 2\pi$:

$$(65a) \quad s_0 = \arccos \left(\frac{e + \cos \omega}{1 + e \cdot \cos \omega} \right) \text{ for } 0 \leq \omega < \pi$$

$$(65b) \quad = 2\pi - \arccos \left(\frac{e + \cos \omega}{1 + e \cdot \cos \omega} \right) \text{ for } \pi \leq \omega < 2\pi$$

وتتحدد هنا دالة $\arccos(x)$ في الفاصل $(\pi, 0)$ وتكون s_0 حسب المعادلين (65a) و(65b) دالة متزايدة للقيمة ω . ويفترض من ناحية أخرى إمكانية تعريف u بأنها دالة متزايدة لقيمة s (أي $du/ds > 0$) ويمكن التعبير عن du/ds حسب المعادلة (64) بعد إجراء بعض الحسابات على النحو التالي:

$$(66) \quad \frac{du}{ds} = \frac{\sqrt{1 - e^2}}{1 - e \cdot \cos(s - s_0)}$$

وإذا استبدلت المعادلتان (64) و(66) بالمعادلين (47) و(50) من الملحق 7 تنتج العلاقة التالية:

$$(67) \quad \frac{1}{2\pi} \int_0^s (1 - e \cdot \cos(s - s_0)) ds = t$$

وبعد تكامل الحد الأيسر تصبح المعادلة (67) كالتالي:

$$(68) \quad s - e \cdot \sin(s - s_0) = 2\pi t + e \cdot \sin s_0$$

وهذه المعادلة المتسامية هي متغير من معادلة كيلر (نلاحظ أن $2\pi t$ تسمى متوسط الشذوذ وأن معادلة كيلر لا تتحدد بنظرية الحرکية إلا بالنسبة إلى $s_0 = 0$). أما بالنسبة إلى القيمة $t < 1$ ($0 \leq t < 1$) يمكن بسهولة حساب القيمة $s < 0$ ($0 \leq s < 2\pi$) التي تتحقق من المعادلة (68) باستعمال طريقة نيوتن-رافسون بإجراء ما يلي (انظر الملاحظة 1).

ويمكن حساب القيمة الأولية التقريرية $s^{(0)}$ للقيمة s بالعلاقة:

$$(69) \quad s^{(0)} = 2\pi t + e \cdot \sin s_0$$

ثم تحسب القيمة v التقريرية لقيمة $s^{(v)}$ بالصيغة:

$$(70) \quad s^{(v)} = s^{(v-1)} - \frac{f(s^{(v-1)})}{f'(s^{(v-1)})} (v = 1, 2, 3, \dots)$$

وفيها:

$$(71) \quad \begin{aligned} f(s) &= s - e \cdot \sin(s - s_0) - 2\pi t - e \cdot \sin s_0 \\ f'(s) &= 1 - e \cdot \cos(s - s_0) \end{aligned}$$

نلاحظ أن $f''(s)$ تدل على المشتقة (s) . ويكون تقارب $s^{(v)}$ من قيمة دقيقة للقيمة s بعد إجراء الحسابات التكرارية باستخدام المعادلين (70) و(71) سريعاً جداً.

وتتحدد القيمة u المقابلة لـ s على النحو التالي مع مراعاة أن u هي دالة متزايدة للمتغير s :

$$(72a) \quad u = \omega - 2\pi + a \quad \text{for } -2\pi < s - s_0 < -\pi$$

$$(72b) \quad = \omega - a \quad \text{for } -\pi \leq s - s_0 < 0$$

$$(72c) \quad = \omega + a \quad \text{for } 0 \leq s - s_0 < \pi$$

$$(72d) \quad = \omega + 2\pi - a \quad \text{for } \pi \leq s - s_0 < 2\pi$$

وبالتالي يكون:

$$(72e) \quad a = \arccos \left(\frac{\cos(s - s_0) - e}{1 - e \cdot \cos(s - s_0)} \right)$$

ومن الممكن حساب u_k المقابلة لـ t_k المحددة في المعادلة (51) من الملحق 7 وذلك لقيمة غير محددة لـ $(u_0 = 0)$.

ويمكن حساب قيمة $u(t)$ المقابلة لـ t بشكل تقريري على النحو التالي:

$$(73) \quad u(t) = N [(t_{k+1} - t) \cdot u_k + (t - t_k) \cdot u_{k+1}]$$

مع $t_k \leq t \leq t_{k+1}$ (إذا $t \geq 1$ ينبغي أن يستعاض عن عدم التساوي بـ $t_k \leq t - 1 < t_{k+1}$) وتعطي المعادلة (73) عندما تكون القيمة N كبيرة بقدر كافٍ (مثل $N = 10000$) قيمة دقيقة لـ $u(t)$ بدلاً من الوقت.

وقد أكدت حسابات أجريت على الحاسوب تكافؤ طريقة الحساب الواردة في هذا التذليل مع طريقة الفقرة 3.3 من الملحق 7.

الملاحظة 1 - حسب طريقة نيوتن-رافسون الواردة أعلاه، يكون التقارب من النتائج المتوقعة مستقر وسريع لكل قيمة t و s_0 شريطة أن تكون e أقل من 0,81. ويمكن التتحقق من هذا الشرط الأخير لأغراض التطبيقات العامة. لكن إذا تعين لسبب ما وجوب حل المعادلة (68) لقيمة e أكبر، فهناك طريقة أكيدة تطوي على اعتماد طريقة نيوتن-رافسون المعدلة على نحو يضمن تقاربًا سريعاً. وتعد فيما بعد طريقة على سبيل المثال (ينبغي إجراء جميع الحسابات بالدقة المضاعفة).

الخطوة 1: بدلاً من إجراء الحساب وفق المعادلة (70)، يتم أولاً اختيار $\lambda = 1$ ويحسب $s^{(v)}$ في المرحلة 2.

الخطوة 2: حساب:

$$(74) \quad s^{(v)} = s^{(v-1)} - \frac{\lambda \cdot f(s^{(v-1)})}{f'(s^{(v-1)})}$$

الخطوة 3: إذا كانت $|f(s^{(v)})| < 10^{-12}$ ، بعد إنتهاء الحساب كاملاً (أي بعد أن تبلغ $s^{(v)}$ قيمة دقة بقدر كافٍ). أما إذا كانت $|f(s^{(v-1)})| > |f(s^{(v)})|$ نعود إلى الخطوة 1 لإجراء حساب القيمة التالية لـ v . وإذا كانت $|f(s^{(v-1)})| \geq |f(s^{(v)})|$ ، يتم تقسيم λ على 2 ثم العودة إلى الخطوة 2 من أجل معاودة الحساب.

إن الطريقة المعدلة المقدمة أعلاه ناجحة لجميع القيم ϵ وصولاً إلى 0,999.

التدليل 2 للملحق 7

تعديل الطريقة التحليلية الواردة في الملحق 7 لأغراض كواكب السواتل غير المستقرة بالنسبة إلى الأرض التي تستخدم مدارات شديدة الإهليجية (HEO)

تتميز الشبكات الساتلية غير المستقرة بالنسبة إلى الأرض التي تستخدم مدارات HEO على النحو التالي. يفترض عموماً مزيد من التبسيط أن السواتل HEO النشطة لا تدور إلا في نصف واحد من نصف الكرة الأرضية حتى ولو كان من السهل توسيع نطاق تطبيق الطريقة إلى حالة السواتل HEO النشطة التي تدور في نصف الكرة الأرضية:

- يفترض وجود M_s كوكبة ساتلية في أحد نصف الكرة الأرضية؛
- تحتوي كل كوكبة ساتلية على عدد N_s ساتلًا يكون أحدها فقط نشيطاً قرب أوجه في لحظة معينة؛ وعندما يخمد ساتل ينشط ساتل آخر مما يضمن التغطية المتواصلة مع العلم بأن مسقط ساتل نشيط على الأرض مماثل لمسقط الساتل النشط الذي سيقه؛
- توجد علاقة رياضية بين الدور المداري T_{orb} (مقدراً بالساعات)، لساتل ما ومدة دورة الأرض (عموماً 8 أو 12 أو 16 أو 24 ساعة تقريباً)؛
- زاوية الميل هي نفسها في جميع السواتل؛
- زاوية الحضيض (ω) هي نفسها في جميع السواتل.

من الممكن في حالة أنظمة سواتل HEO أن تكون كوكبة واحدة قادرة على توفير خدمات في عدة مناطق خدمة. فمثلاً عندما يكون الدور المداري 8 ساعات تقريباً توفر الكوكبة خدمات لثلاث مناطق مختلفة على سطح الأرض. غير أنه يستحسن لأغراض تقييم التداخلات القائم على الإحصاءات أن تعالج هذه المناطق كل على حدة بافتراض أن هذه المناطق الثلاث مستقلة بعضها عن البعض الآخر وأن ساتلًا واحدًا نشطاً يشغل كل منطقة.

و عموماً إذا لم تشغل السواتل HEO النشطة إلا في نصف الكرة الأرضية الشمالي تكون الزاوية $\omega = -\pi/2$ (أو $\omega = 3\pi/2$) رadian، بينما إذا شغلت في نصف الكرة الجنوبي تكون الزاوية $\omega = \pi/2$ رadian. وفي حال تشغيل السواتل في نصف الكرة الأرضية تستعمل هاتان القيمتان للزاوية ω . كما أن استعمال قيم أخرى غير $\pm \pi/2$ للزاوية ω ممكن لتطبيقات خاصة.

وتتحدد المسافة بين الساتل HEO ومركز الأرض في الصيغ المذكورة في الفقرة 1.3 من الملحق 7. وتتحدد زاوية ساتل HEO نشط بدلالة الوقت t حيث $1 < t \leq 0$ (يفترض هنا أن الدور المداري يساوي 1 دون تعريض العمومية للحسارة) باستخدام صيغ الفقرة 3.3 من الملحق 7 التي تستخدم صيغ الفقرة 2.3 من الملحق المذكور. ويلاحظ أن حسابات الفقرتين 2.3 و 3.3 المذكورتين تفترض ضمنياً أن $0 = u$ في لحظة $t = 0$ ، بينما فرضية $\omega = u$ في لحظة $t = 0$ أكثر ملاءمة في حالة كواكب السواتل HEO. وتحدد المعادلة (49) في الملحق 7 خط عرض الساتل.

ويتم اختيار ساتل HEO نشط باعتباره ساتلاً مرجعياً. وعندما لا يتجاوز الوقت T_{orb} مدة 24 ساعة تعطى لحظة بدء الطور النشط T_{start} ، ولحظة نهاية الطور النشط T_{end} لهذا الساتل النشط في المعادلين (75a) و (75b) وبافتراض (دون تعريض العمومية للحسارة) أن الدور المداري يساوي الوحدة وأن الساتل يتواجد في الحضيض عند $t = 0$:

$$(75a) \quad (T_{start} \geq 0) T_{start} = 0.5 - 12/(N_s \cdot T_{orb})$$

$$(75b) \quad (T_{end} < 1) T_{end} = 0.5 + 12/(N_s \cdot T_{orb})$$

تفترض المعادلين (75a) و (75b) أن الساتل نشط عند اقترابه من الأوج وأن القوس النشطة تناظرية مع الأوج. مثال، إذا كانت $N_s = 3$ و $T_{orb} = 12$ ساعة و $T_{start} = 1/6$ ساعة و $T_{end} = 5/6$ ساعة (مدة الطور النشط 8 ساعات) وإذا كانت $N_s = 5$ و $T_{orb} = 8$ ساعات و $T_{start} = 0,2$ و $T_{end} = 0,8$ (مدة الدور النشط 4,8 سا). أما إذا لم تكن القوس النشطة تناظرية فيتعين عندئذ تعديل المعادلين (75a) و (75b).

يمكن تحديد الزاوية (t) للساتل المرجعي في لحظة معينة ($1 < t \leq 0$) من الفاصل الزمني (T_{start}, T_{end}) باستعمال المعادلة (54) الواردة في الملحق 7 ويفترض في هذه الحالة أن $\omega = u_0 = \omega + 2\pi/u_N$ (أي $u_N = \omega + 2\pi$).

وعند تشغيل عدد من الكواكب الساتلية في أحد نصفي الكرة الأرضية مع المحافظة على تباعد منتظم بين السواتل، يكون من اليسير تحديد موقع جميع السواتل النشطة. وبالعموم يكفي بالنسبة إلى دراسات التقاسم افتراض أن أطوار جميع السواتل النشطة متماثلة. وفي حال وجود فروق في الطور بين الكواكب يمكن مراعاتها بسهولة في الحسابات.

أما إذا لم يكن التباعد بين السواتل موحداً وتحددت قيم تباعد فعلية فإن هذه القيم تراعي بشكل صحيح في الحسابات. وبعد تحديد موقع جميع السواتل النشطة في لحظة معينة، يمكن تقسيم التداخل التراكمي الذي تسببه جميع السواتل المرئية في محطة الخدمة الثابتة بموجب الطريقة الواردة في الفقرتين 4 و 5 من الملحق 7.

وأخيراً تحدّر الإشارة إلى وجود تباين كبير بين الطريقة التحليلية الواردة في الملحق 7 والطريقة التي يعرضها هذا التذليل. ففي الملحق 7 يقيّم التداخل بطريقة تحليلية مع افتراض أن خطي العرض والطول للساتل مستقلان بينما يرتبط خط عرض الساتل بخط طوله في حالة السواتل HEO موضوع الدراسة في هذا التذليل. لذا يتبع تحديد خططي العرض والطول للساتل في لحظة معينة حسب هذا التذليل. غير أنه يكفي تقسيم التداخل في دور واحد بسبب انتظام أدوار حركة السواتل، مما يساهم في تقليل وقت اللازم للحساب.

ومن ناحية أخرى لا ينطبق مفهوم "المناطق الحساسة" الوارد في الفقرة 4.3 من الملحق 7 على الطريقة التحليلية التي يقدمها هذا التذليل. ويتم تقسيم التداخل في أنظمة الخدمة الثابتة بافتراض قناع كثافة pfd ملائم يتوقف على زاوية ورود الإرسالات التي تنتجهما السواتل HEO النشطة.